

Processos de Geração e Manipulação de Correntes Puras de Spin em Estruturas Magnéticas Híbridas

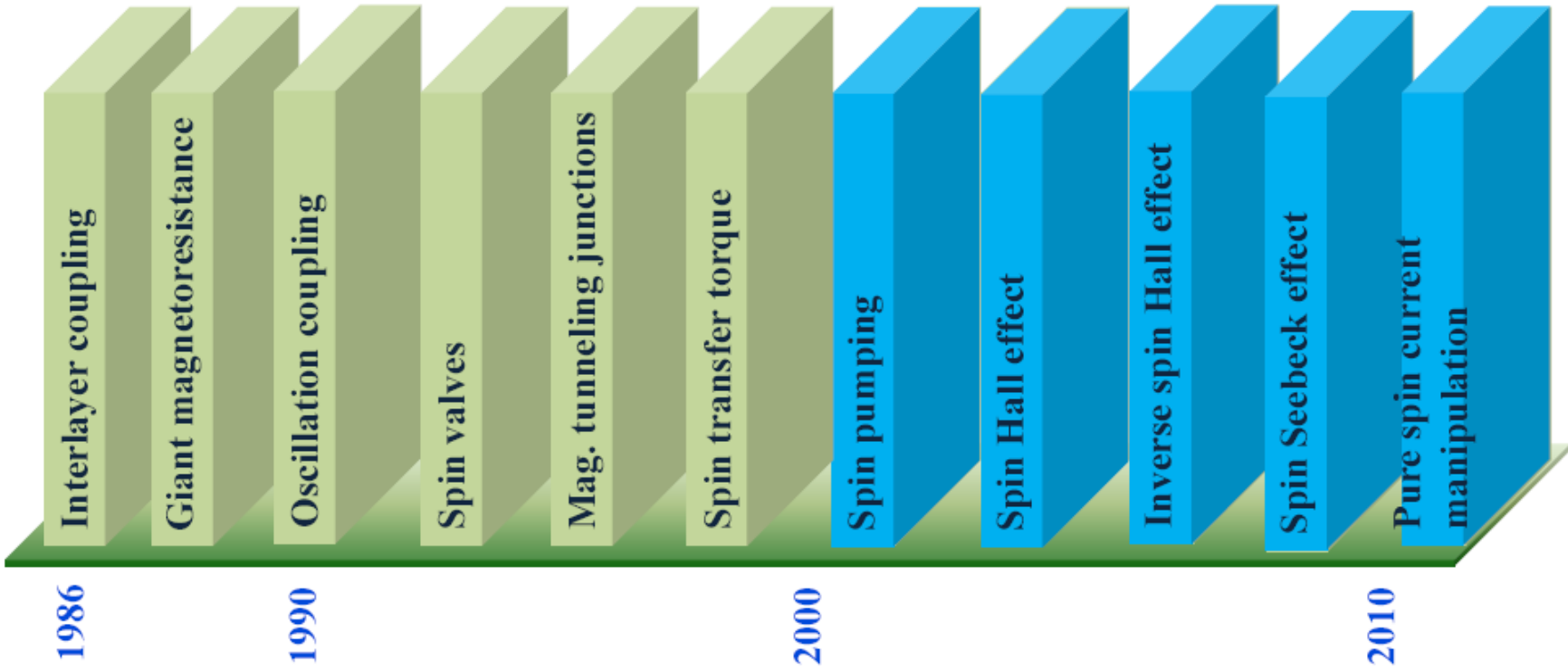


Antonio Azevedo

Departamento de Física, Universidade Federal de Pernambuco
Recife, PE

Colaboradores: S. Rezende, R. Rodríguez-Suárez, Eduardo Padron, L. H. Vilela-Leão,
Rafael Otoniel, G. L. da Silva Vilela, Obed Alves, Gabriel Fonseca, Marcio M. Soares...

Spintrônica em metais: evolução (escolha pessoal)



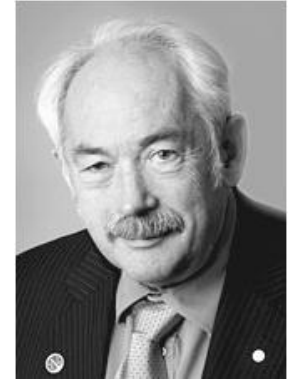
O avanço das descobertas continua!

A spintrônica de metais teve um novo ímpeto a partir do ano 2000!

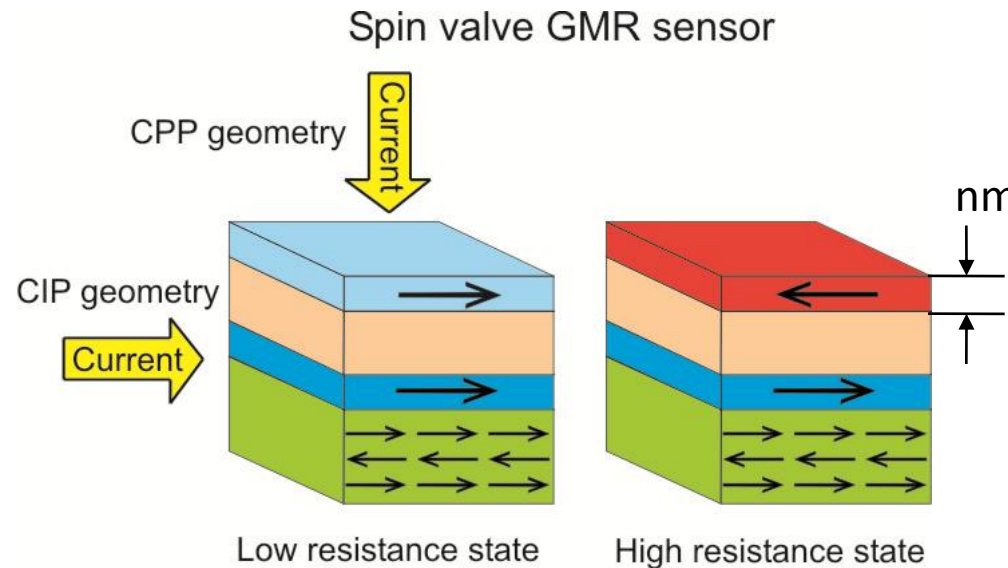


The Nobel Prize in Physics 2007

“for the discovery of giant magnetoresistance”



A. Fert



P. Grünberg

Descoberta combinou dois conceitos:

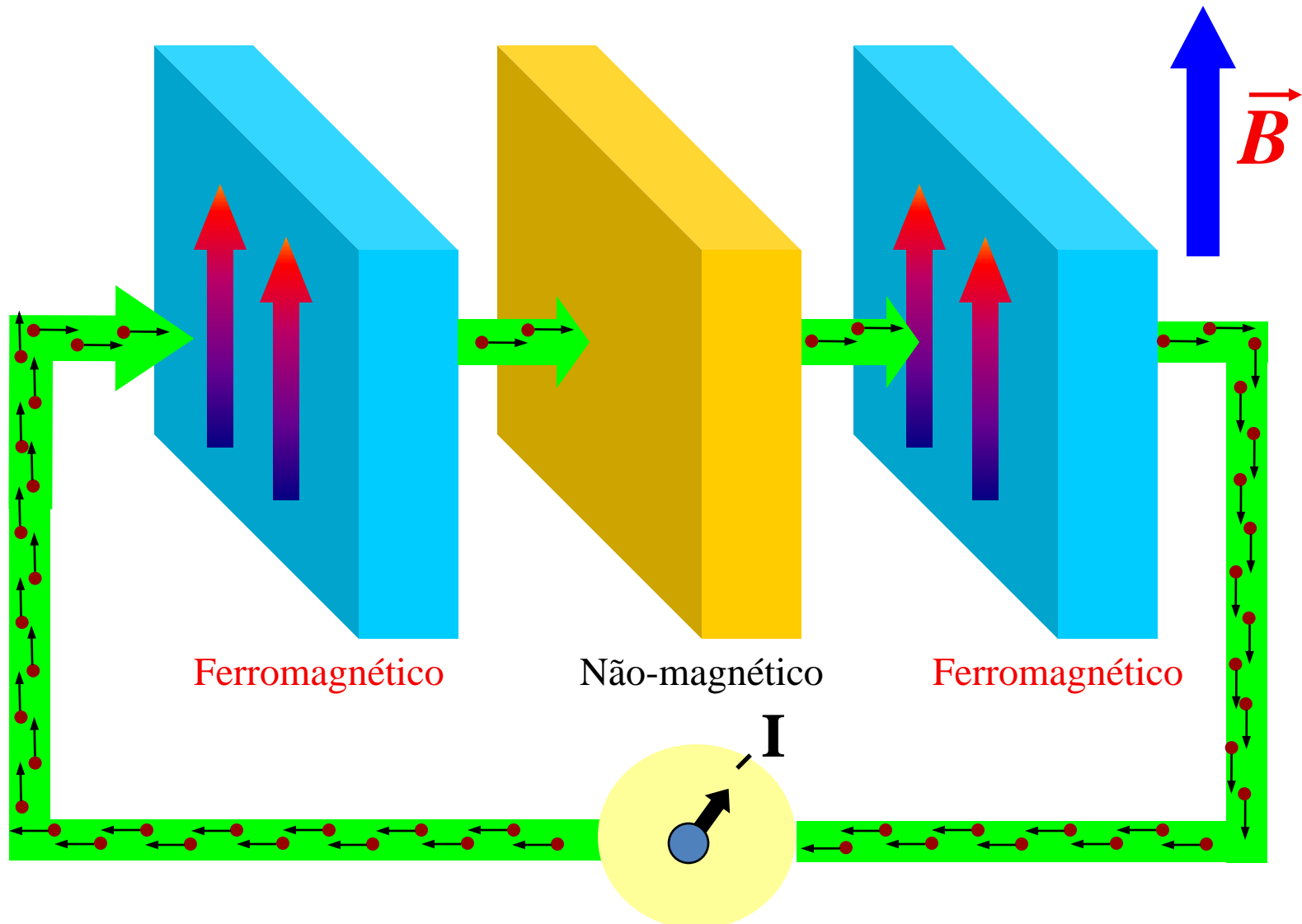
- Engenharia de fabricação em nanoscale: Sandwiches com magnetizações apontando em direções diferentes
- A corrente torna-se “spin polarizada” e flui em dois canais separados (“up” e “down”) com diferentes resistividades – Modelo de duas correntes de Mott

Válvula de spin

Polarizadora

Espaçador

Livre

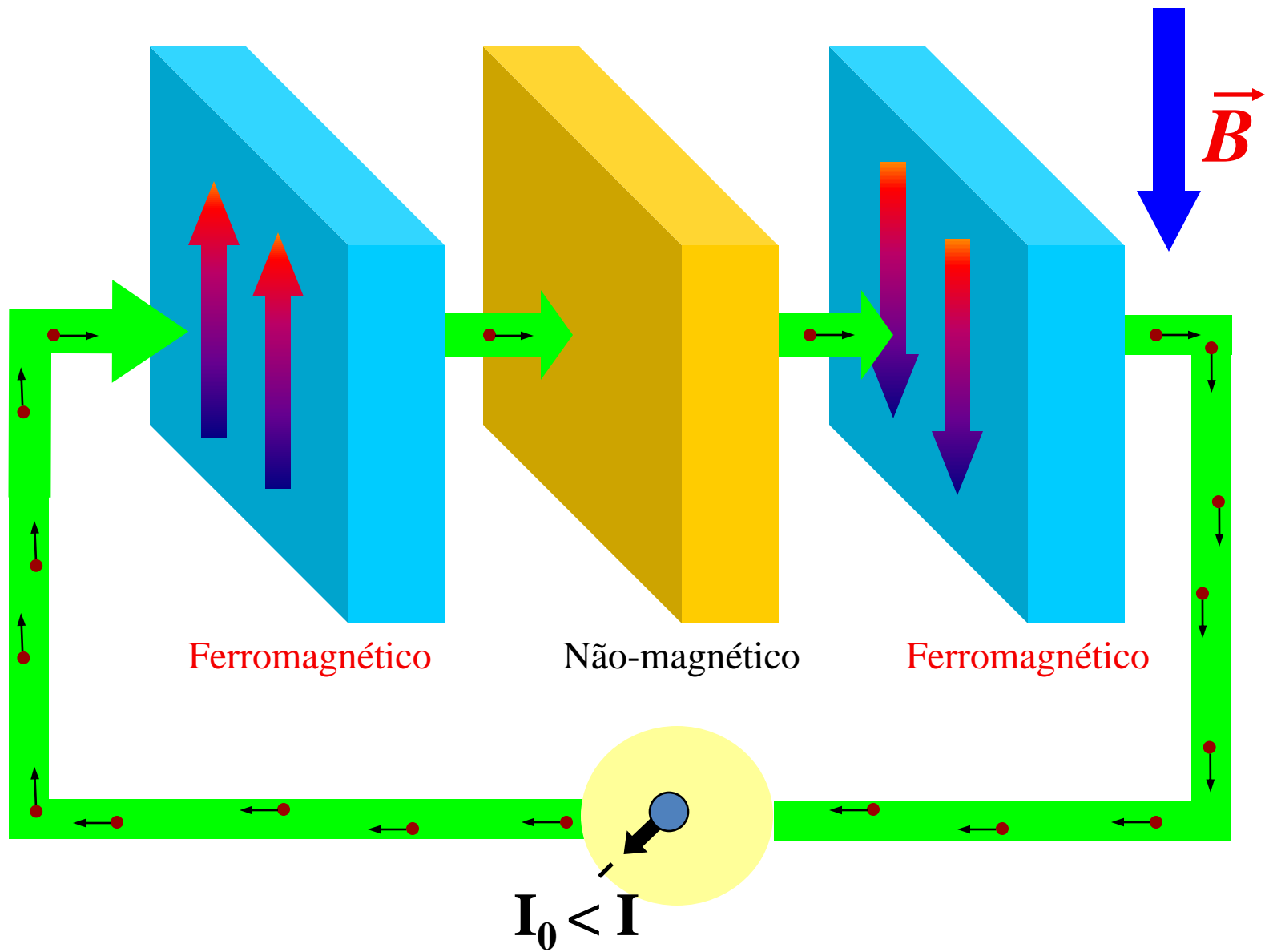


Válvula de spin

Polarizadora

Espaçador

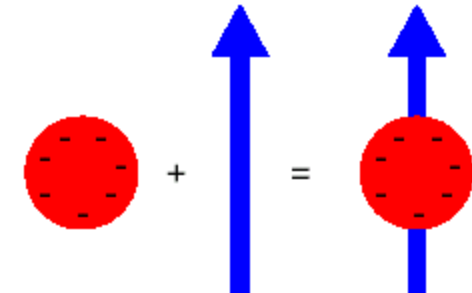
Livre



Elétron!

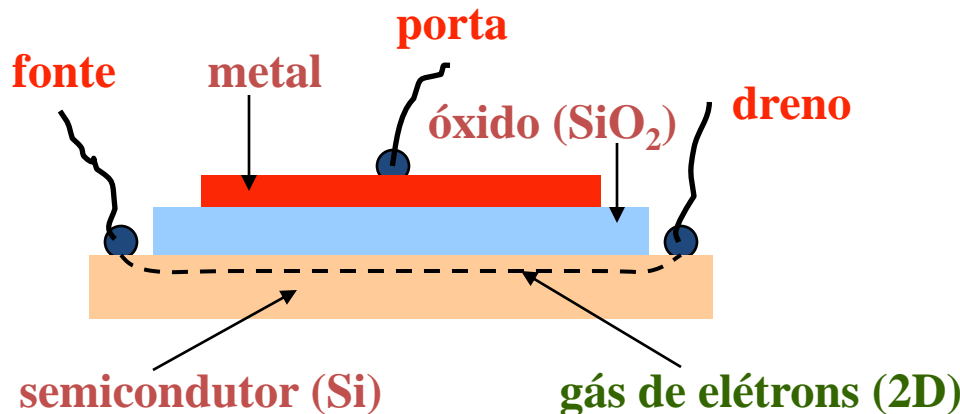
Partícula com carga elétrica negativa ($q = -e$)

e spin $\frac{1}{2}$ (momento magnético $m = \mu_B$)

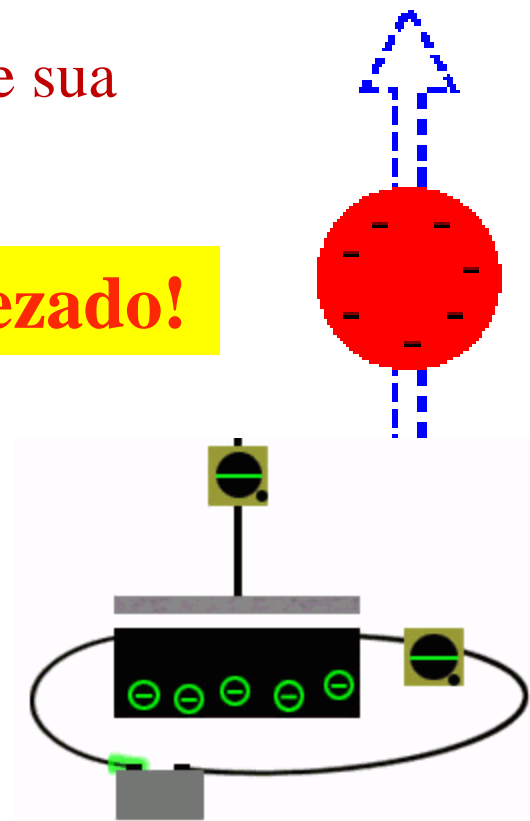


Eletrônica = manipulação de elétrons pelo uso de sua carga para gerar e processar sinais.

O spin é (quase) completamente desprezado!



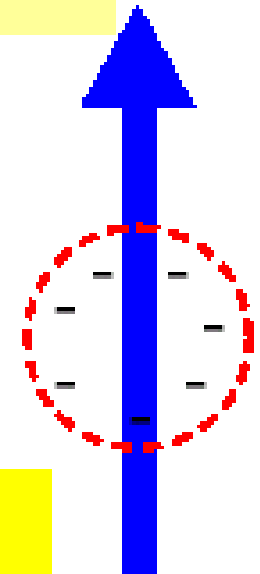
MOSFET
Portas lógicas,
RAM,...



E do ponto de vista do magnetismo? O que é um elétron?

~~Magnetismo = o elétron visto como um momento de dipolo magnético.~~

Magnetismo = desenvolve e utiliza materiais que manipulam o spin eletrônico com o objetivo de obter e entender a interação entre os mesmos!



A carga elétrica representa um papel secundário!

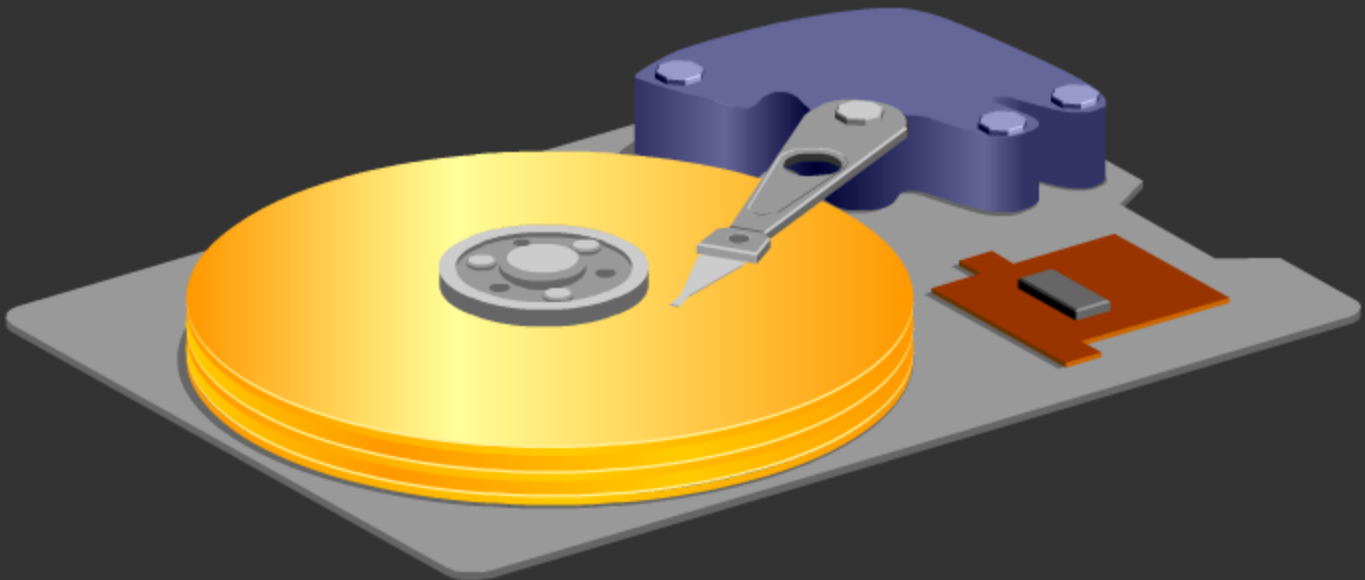
Principal aplicação: armazenamento dados em alta escala!

Spintrônica ou Magneto-eletrônica:
combinação de **eletrônica** e **magnetismo**,
onde a **carga** e o **spin** do elétron são
simultaneamente utilizados!

NOVOS FENÔMENOS FÍSICOS!

NOVAS APLICAÇÕES!





THE HARD DISK DRIVE

[1](#) [2](#) [3](#) [4](#) [5](#) [6](#)

You are looking at the inside of a hard disk drive. The head is located at the end of the actuator arm, and flies over the disk to read and write data. Click the next button to take a closer look at the read/write element. [\[NEXT\]](#)

Novo ímpeto para a *Spintrônica*

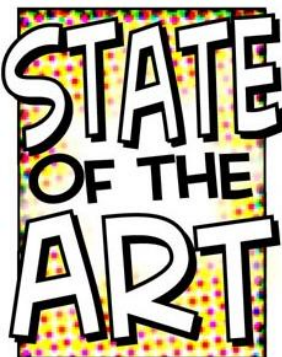
1999 - Spin Hall effect (**SHE**) (teoria)

2002 - Corrente pura de spin e “spin pumping” (teoria)

2006 - Observação experimental de SHE e ISHE

2008 - Descoberta do efeito spin Seebeck

2010 - Fenômenos com correntes de spin em isolantes magnéticos



Spin Current

Edited by **Sadamichi Maekawa, Sergio O. Valenzuela, Eiji Saitoh, and Takashi Kimura**

Series on Semiconductor Science and Technology 17, 26 July 2012

Handbook of Spin Transport and Magnetism

Edited by **Evgeny Y. Tsymbal and Igor Žutić**

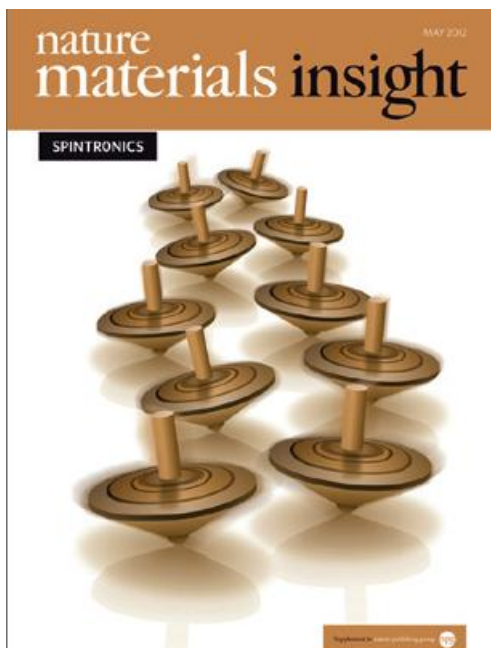
CRC Press Taylor & Francis Group, 2012

Spin Hall Effects in Metals

Axel Hoffmann

IEEE TRANS. ON MAGNETICS, VOL. 49, NO. 10, OCTOBER 2013

STATE OF THE ART



NATURE MATERIALS | VOL 11 | MAY 2012 |

CONTENTS

COMMENTARY

- New moves of the spintronics tango
Jairo Sinova and Igor Žutić

368

REVIEW ARTICLES

- Current-induced torques in magnetic materials
Arne Brataas, Andrew D. Kent and Hideo Ohno

372

Spin Hall effect devices

- Tomas Jungwirth, Jörg Wunderlich and Kamil Olejník

382

Spin caloritronics

- Gerrit E. W. Bauer, Eiji Saitoh and Bart J. van Wees

391

Silicon spintronics

- Ron Jansen

400

PROGRESS ARTICLE

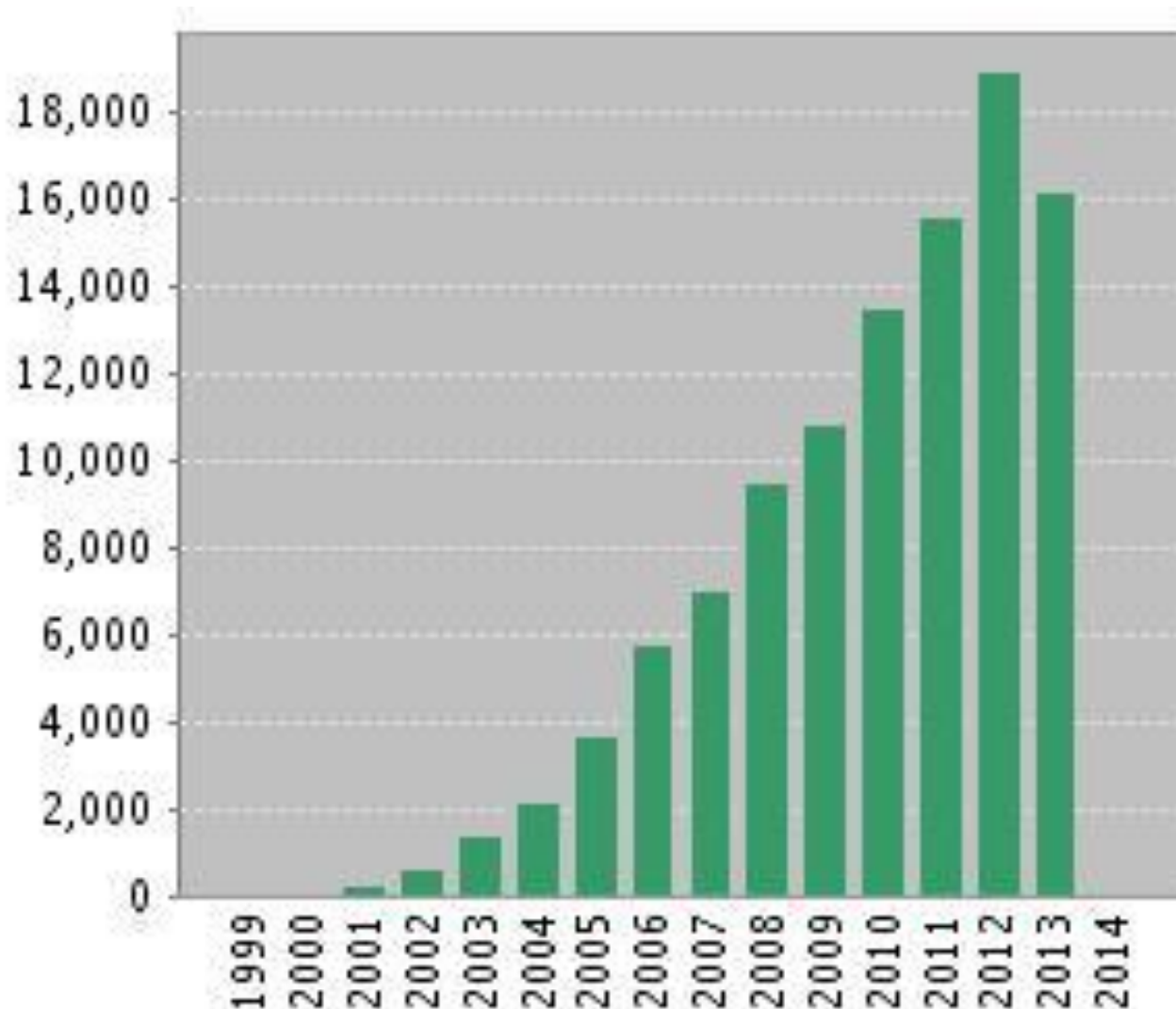
- Spintronics and pseudospintronics in graphene and topological insulators

- Dmytro Pesin and Allan H. MacDonald

409

Spintronics is the area of condensed-matter physics that studies the properties of the electron spin, with a view to improve the efficiency of electronic devices and to enrich them with new functionalities.

Citações de papers em Spintrônica



Corrente de spin



- O que é uma corrente de spin
- Efeito Hall de Spin
- Efeito Hall inverso de spin
- Spin pumping
- Efeito Seebeck de spin
- Realização experimental

O que é uma corrente de spin?



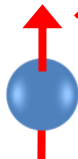
É um fluxo de momento angular de spin!

Corrente de carga (fluxo de carga)

Carga elétrica (+ ou -)



Importante em eletrônica!



Corrente de spin (fluxo de momento angular)

Momento angular de spin

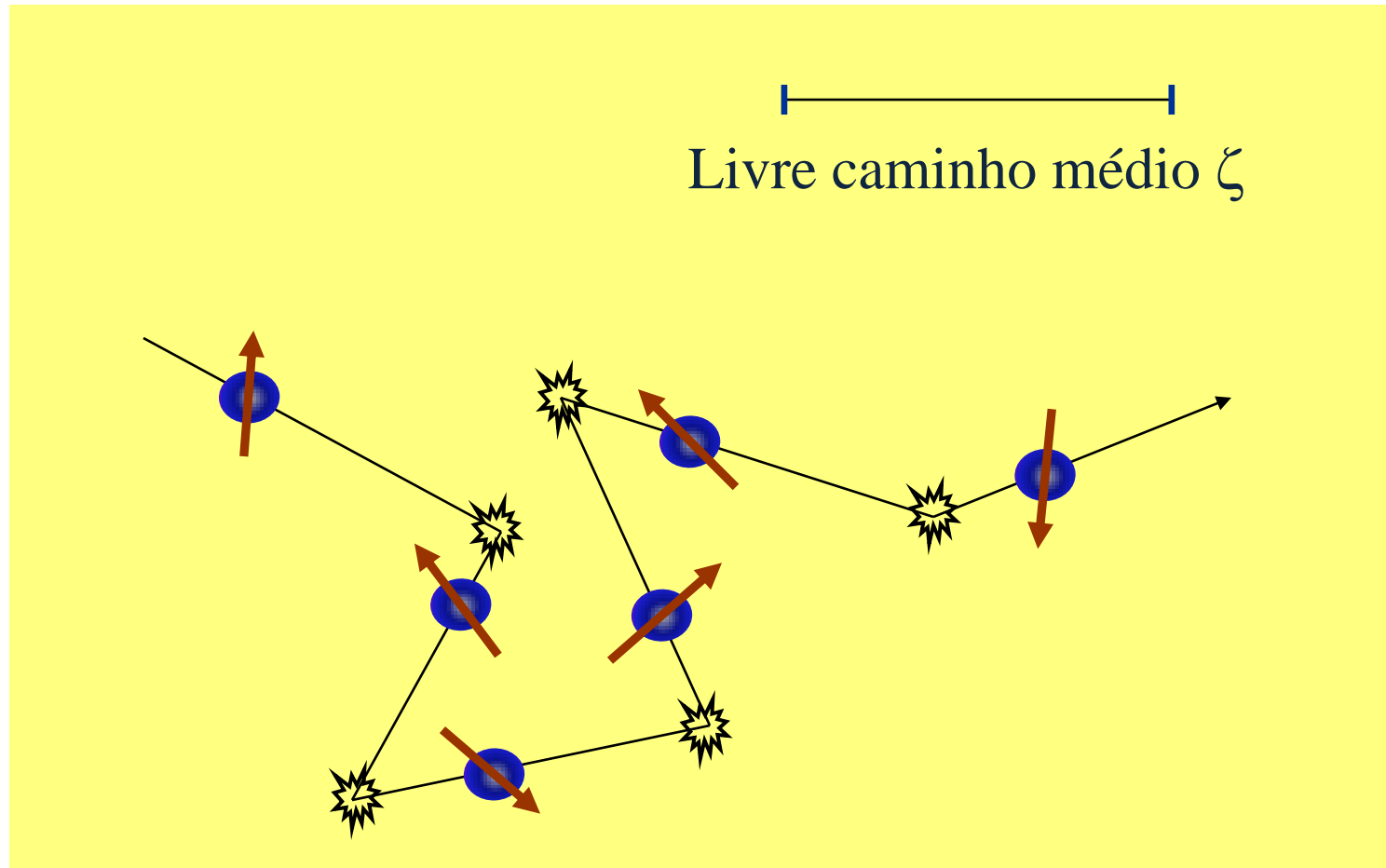


Importante em spintrônica!



Corrente elétrica em amostras macroscópicas

Em amostras massivas os **elétrons** “perdem” a memória de seus spins nas colisões



Na eletrônica convencional o spin dos elétrons é completamente desprezado!

- CORRENTE PURA DE CARGA (por elétrons de condução)

Corrente de carga finita: $J_C (= J_{\uparrow} + J_{\downarrow}) \neq 0$

Corrente de spin nula: $J_S (= J_{\uparrow} - J_{\downarrow}) = 0$

Corrente pura de carga



Seção transversal

Fluxo de carga sem fluxo de spin!

- CORRENTE PURA DE SPIN (por elétrons de condução)

Corrente de carga nula: $J_C (= J_{\uparrow} + J_{\downarrow}) = 0$

Corrente de spin finita: $J_S (= J_{\uparrow} - J_{\downarrow}) \neq 0$

Corrente pura de spin



Seção transversal

Fluxo de spin sem fluxo de carga!

COMO GERAR CORRENTES PURAS DE SPIN?

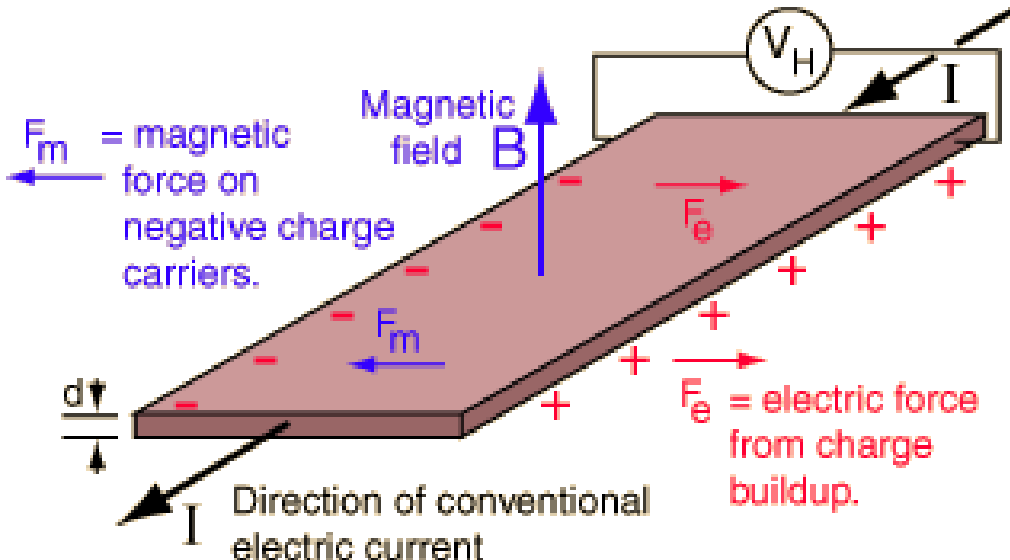
Efeito Hall de spin (redescoberto em 1999)

Efeito de spin pumping (proposta teórica 2002)

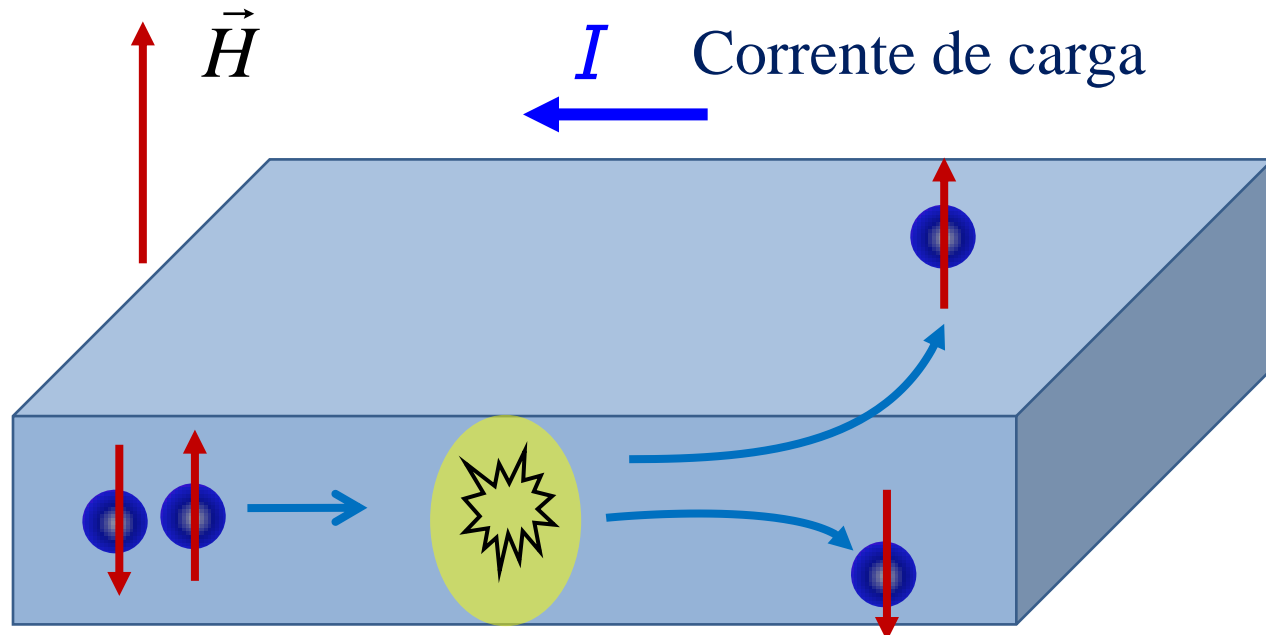
Efeito Seebeck de spin (descoberto em 2008)

Efeito Hall Clássico

E. H. Hall (1879)



Efeito Hall de Spin (Dyakonov & Perel 1971; Hirsch 1999)

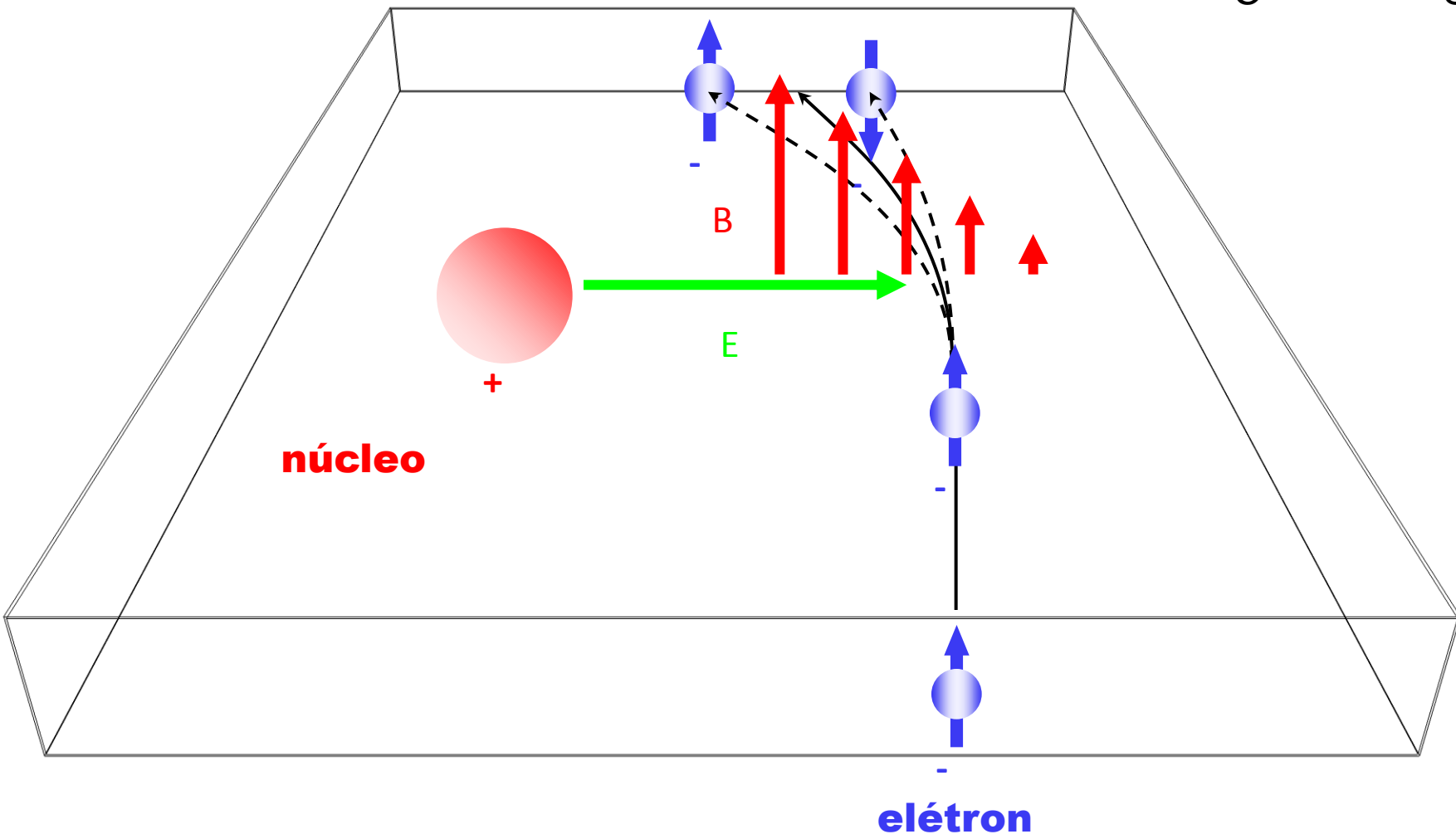


Metal (NM) com forte interação spin órbita
(Pt, Pd)

Spin-Skew Scattering

$$\vec{B} \propto -\vec{v} \times \vec{E}$$

$$V = V_C(r) + V_{SO}(r)$$



From Axel Hoffmann

- EFEITO HALL DE SPIN (SHE) [Dyakonov & Perel 1971; Hirsch 1999]

$$\vec{H} \odot$$

Acumulação de spin-up

Corrente de carga J_C

$$U_{\text{so}} \mu \vec{L} \times \vec{S}$$



Acumulação de spin-down

$$V = 0$$

Corrente de spin J_S

Metal (NM)
com forte
interação
spin-órbita
(Pt, Pd)

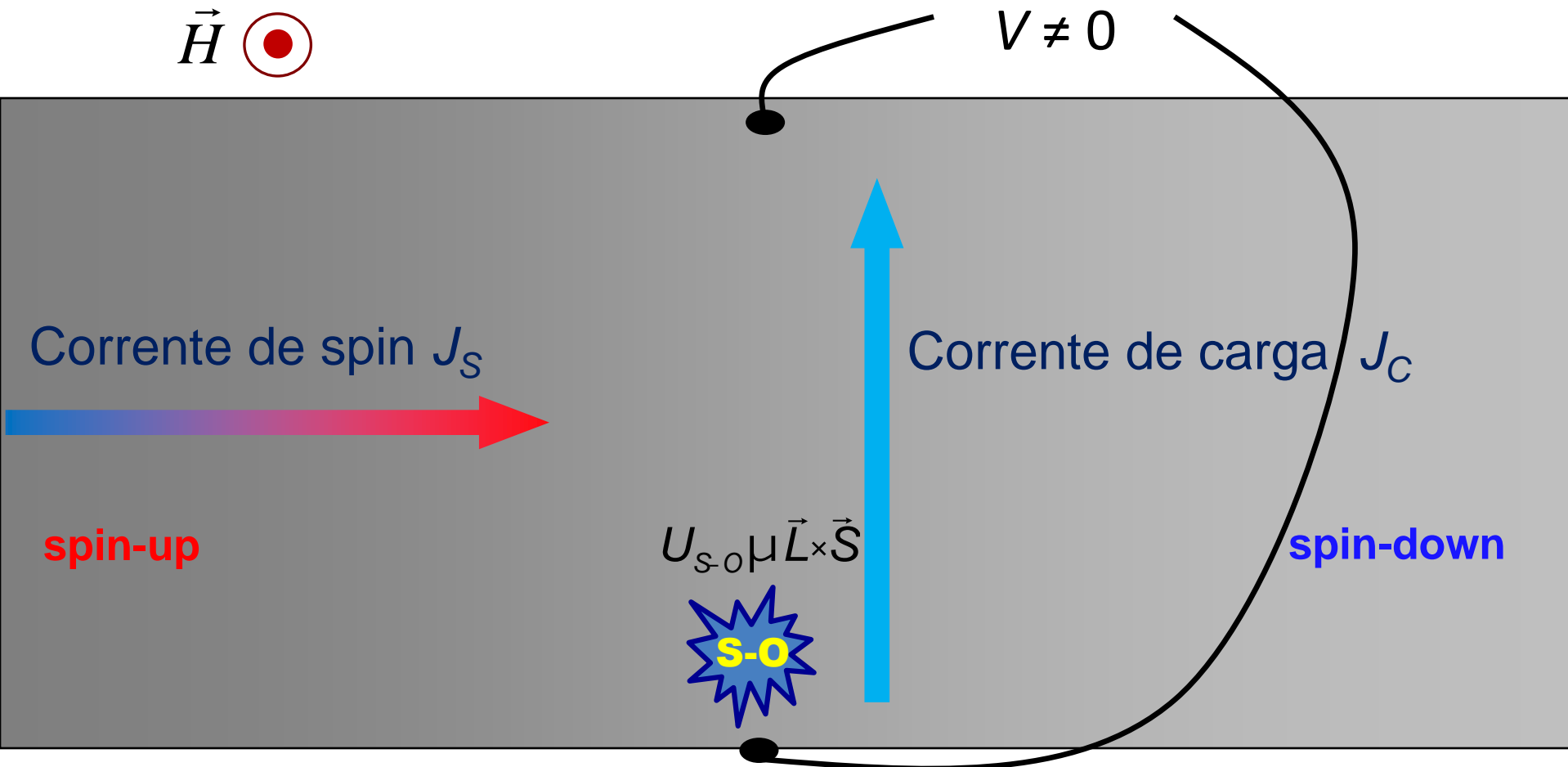
Elétrons com spins opostos em J_C são defletidos para lados opostos do filme criando **corrente de spin**.

Corrente de **carga** \rightarrow corrente de **spin**

$$\vec{J}_S = \theta_{SH} (\vec{\sigma} \times \vec{J}_C)$$

**Se existe o efeito Hall de spin direto,
“deve existir o efeito inverso”!**

- EFEITO HALL DE SPIN INVERSO (ISHE) [Hirsch 1999, Saitoh 2006]

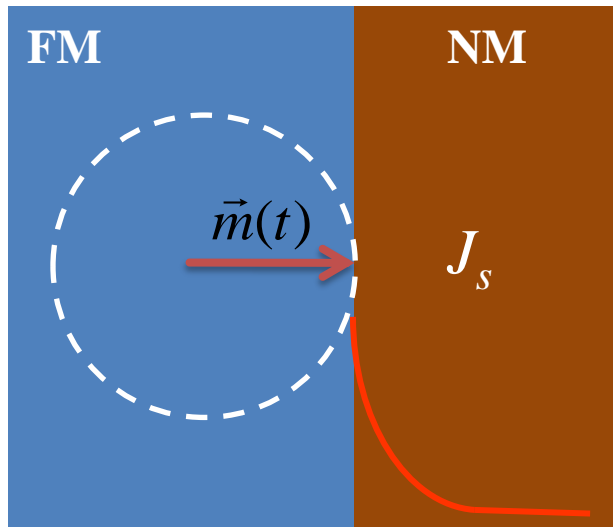


Corrente de **spin** → corrente de **carga**

$$\vec{J}_c = q_{SH} (\vec{S} \cdot \vec{J}_s)$$

Efeito spin pumping!

Spin-pumping: técnica simples para injetar corrente pura de spin em um meio NM



2002- A. Brataas, Y. Tserkovnyak,

G.E Bauer, B. I. Halperin

Spins em precessão na camada FM

“bombeiam” **corrente de spin** (momentum angular) na camada NM que produz amortecimento (spin pumping damping)

Pure spin current

Precessão de spins

Spin mixing conductance

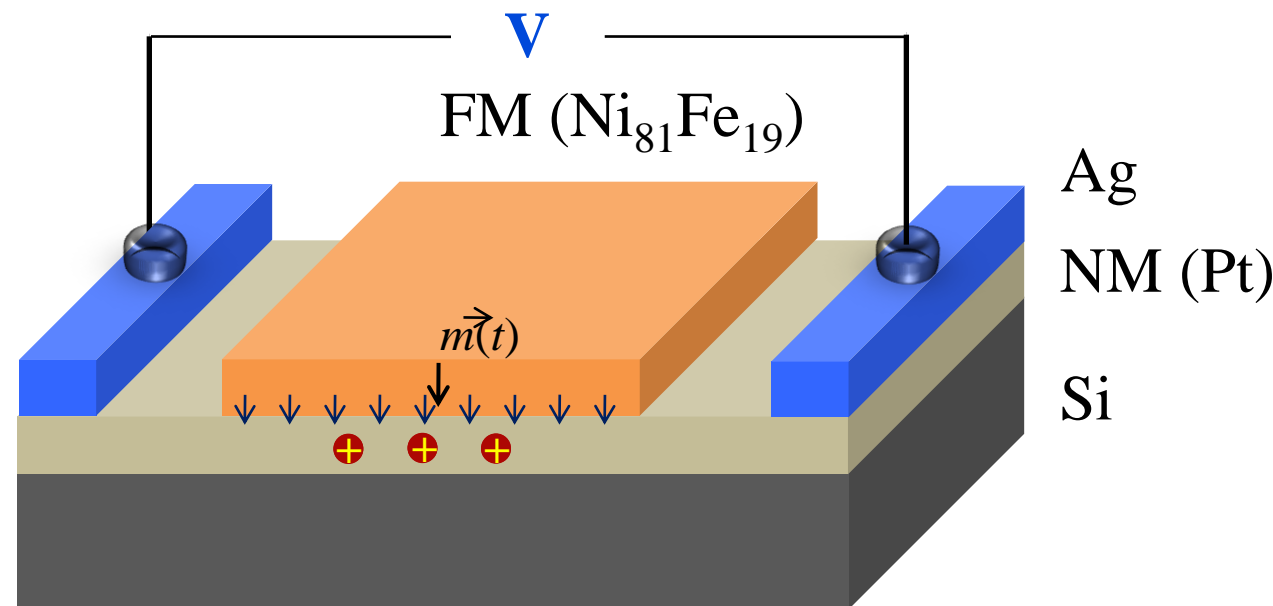
SPE

Corrente de spin

$$\vec{J}_s = \frac{\hbar g_r^{\uparrow\downarrow}}{4\pi M^2} \left(\vec{M} \times \frac{\partial \vec{M}}{\partial t} \right)$$

Usando a geração de corrente pura de spin poderemos testar o efeito Hall inverso de spin medindo-se uma tensão elétrica!

Ilustração do conceito!

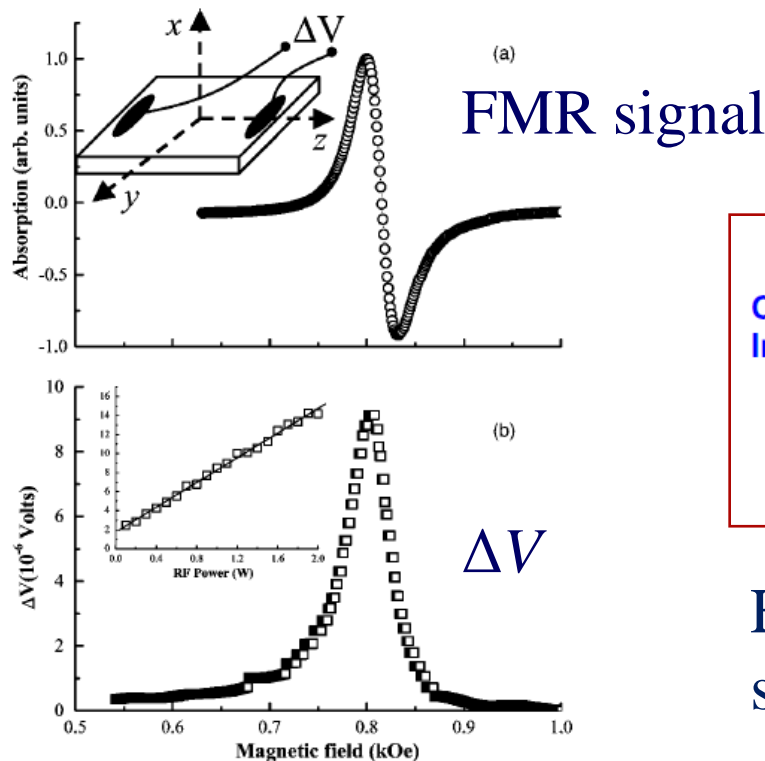


Observação de spin pumping

JOURNAL OF APPLIED PHYSICS 97, 10C715 (2005)

dc effect in ferromagnetic resonance: Evidence of the spin-pumping effect?

A. Azevedo,^{a)} L. H. Vilela Leão, R. L. Rodriguez-Suarez, A. B. Oliveira, and S. M. Rezende
Departamento de Física, Universidade Federal de Pernambuco, Recife, Pernambuco 50670-901, Brazil



APPLIED PHYSICS LETTERS 88, 182509 (2006)

Conversion of spin current into charge current at room temperature: Inverse spin-Hall effect

E. Saitoh,^{a)} M. Ueda, and H. Miyajima
Department of Physics, Keio University, Yokohama 223-8522, Japan

G. Tatara
PRESTO, Japan Science and Technology Agency (JST), Department of Physics, Tokyo Metropolitan University, Tokyo 192-0397, Japan

Explica a geração de V_{DC} em termos de spin-pumping e ISHE

**É possível interagir corrente de spin
com ondas de spin?**

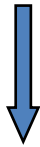
Spin waves: semi-classical treatment

Landau-Lifshitz equation with exchange (without losses)

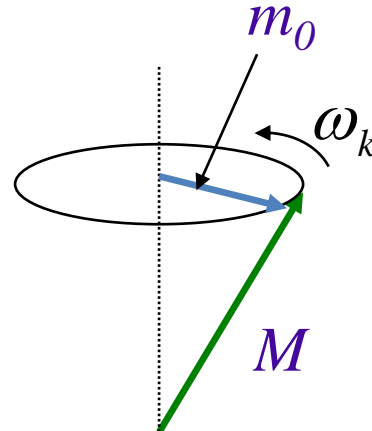
$$\frac{\partial \vec{M}}{\partial t} = \gamma \vec{M} \times \vec{H}_i - \gamma \frac{D}{M} \vec{M} \times \nabla^2 \vec{M}$$

$$\vec{M} = \hat{z} M_z + \hat{x} m_x + \hat{y} m_y \quad m_{x,y} = g\mu_B (N/V) S_{x,y}$$

$$m^\pm = m_x \pm i m_y$$

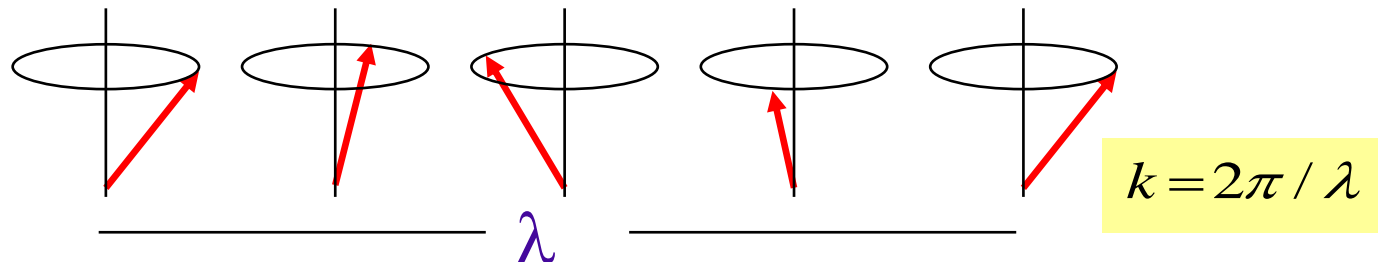


$$m^+(\vec{r}, t) = m_0 e^{i \vec{k} \cdot \vec{r} - i \omega_k t}$$



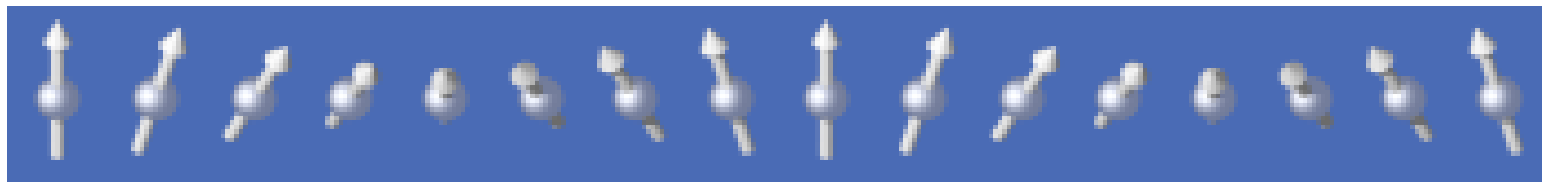
Spin waves are quantized: $|m_0|^2 \propto$ number of magnons

Spin waves: semi-classical interpretation

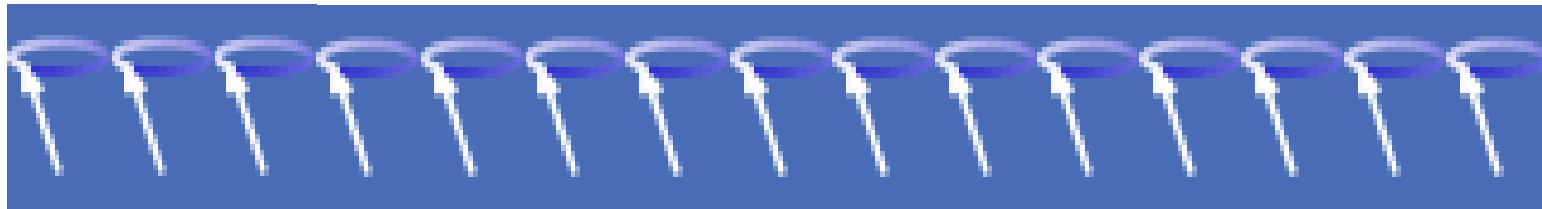


Travelling spin wave

$$m^+(\vec{r}, t) = m_0 e^{i \vec{k} \cdot \vec{r} - i \omega_k t}$$

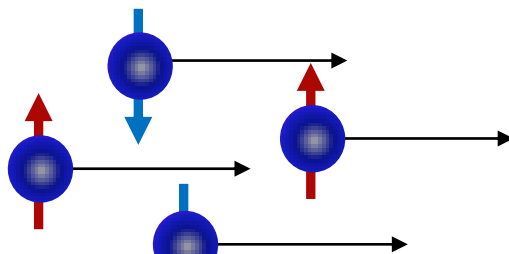


Standing spin wave



Portadores de informação

Eletrônica:

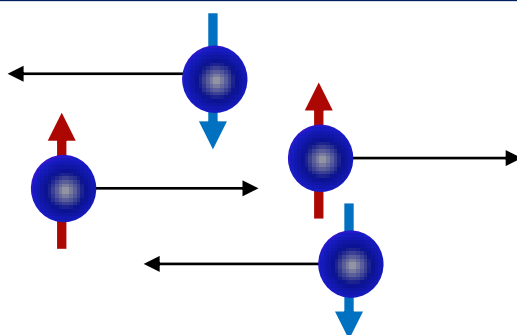


Corrente de carga



$$I_C (= I_{\uparrow} + I_{\downarrow}) \neq 0$$

Spintrônica:



Corrente de spin



$$I_S (= I_{\uparrow} - I_{\downarrow}) \neq 0$$

Magnon
spintrônica:

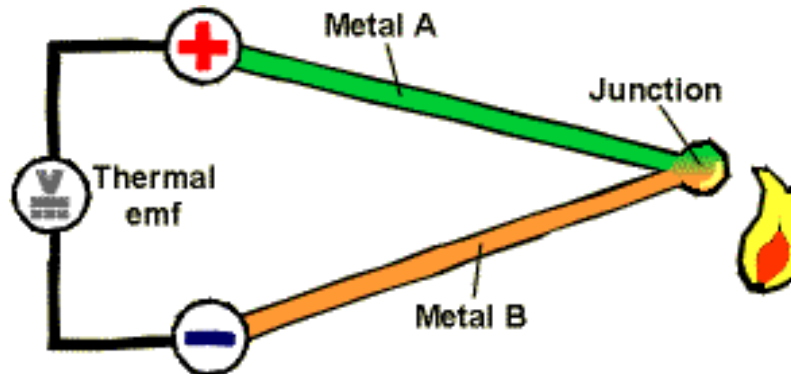
Spin Caloritronics
A new guy on the block!

Efeitos termo-elétricos: Efeito Seebeck

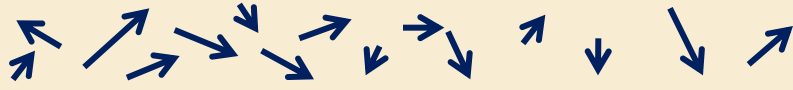


Thomas Seebeck (1770-1831)

Descobriu o efeito Seebeck em 1821



Diferença de temperatura entre dois metais distintos com uma junção gera uma diferença de potencial



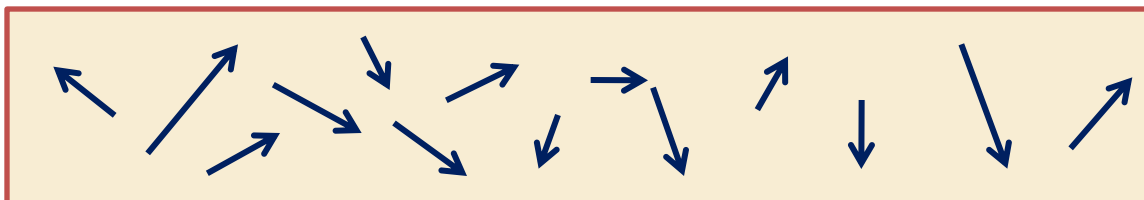
$$\Delta V = -S \Delta T$$

↑
Coeficiente Seebeck
ou termopotência



$$J_C = -\sigma S \nabla T$$

Termo-electricidade em metais e semicondutores



$\Delta V, \Delta T$

$$\begin{pmatrix} J_C \\ J_Q \end{pmatrix} = - \begin{pmatrix} \sigma & -\sigma S \\ -\sigma \Pi & K \end{pmatrix} \begin{pmatrix} \nabla V \\ \nabla T \end{pmatrix}$$

Efeitos termoelétricos dependentes de spin?

Lorentz center

Spin Caloritronics

Workshop February 9 - 13 2009, Leiden, The Netherlands

Scientific Organizers

- Gerrit Bauer, Delft
- Sadamichi Maekawa, Sendai

Invited Speakers

- Jean-Philippe Ansermet, Lausanne
- Arne Brataas, Trondheim
- Eckes Brück, Delft
- Rembert Duine, Utrecht
- Vladimir Fal'ko, Lancaster
- Akio Fukushima, AIST
- Tero Heikkilä, Helsinki
- Jun Ieda, Tohoku
- Ronnie Jansen, Twente
- Hiroshi Katayama-Yoshida, Osaka
- Paul Kelly, Twente
- Andrei Kirilyuk, Nijmegen
- Mathias Kläui, Konstanz
- Hiroshi Kohn, Osaka
- Bert Koopmans, Eindhoven
- Allan MacDonald, Texas
- Laurens Molenkamp, Wurzburg
- Shuichi Murakami, Tokyo IT
- Kornelius Nielsch, Hamburg
- Qian Niu, Texas
- Hideo Ohno, Tohoku
- Teruo Ono, Kyoto
- Yoshinori Onose, U. Tokyo
- Yoshichika Otani, ISSP
- Stuart Parkin, Almaden
- Eiji Saitoh, Keio
- Jing Shi, Riverside
- Yoshihige Suzuki, Osaka
- Hideyuki Takagi, U. Tokyo
- Saburo Takahashi, Tohoku
- Koki Takanashi, Tohoku
- Gen Tatara, Tokyo Met.
- Yaroslav Tsentalovich, Los Angeles
- Bart van Wees, Groningen
- Xincheng Xie, Oklahoma and Beijing
- Shinji Yusa, AIST

Topics

- Spin, charge and entropy/energy transport in conducting nanoscale structures and devices.
- Spin and Seebeck effect, Peltier effect, thermal conductance
- Heat and Spin transfer torque, spin Hall effects, anomalous Hall effects

The Lorentz Center is an International center in the Sciences. Its aim is to organize workshops for scientists in an atmosphere which fosters collaborative work, discussions and interactions. For registration see: www.lorentzcenter.nl

Design SuperView Studio, Ben Hug

SIM!

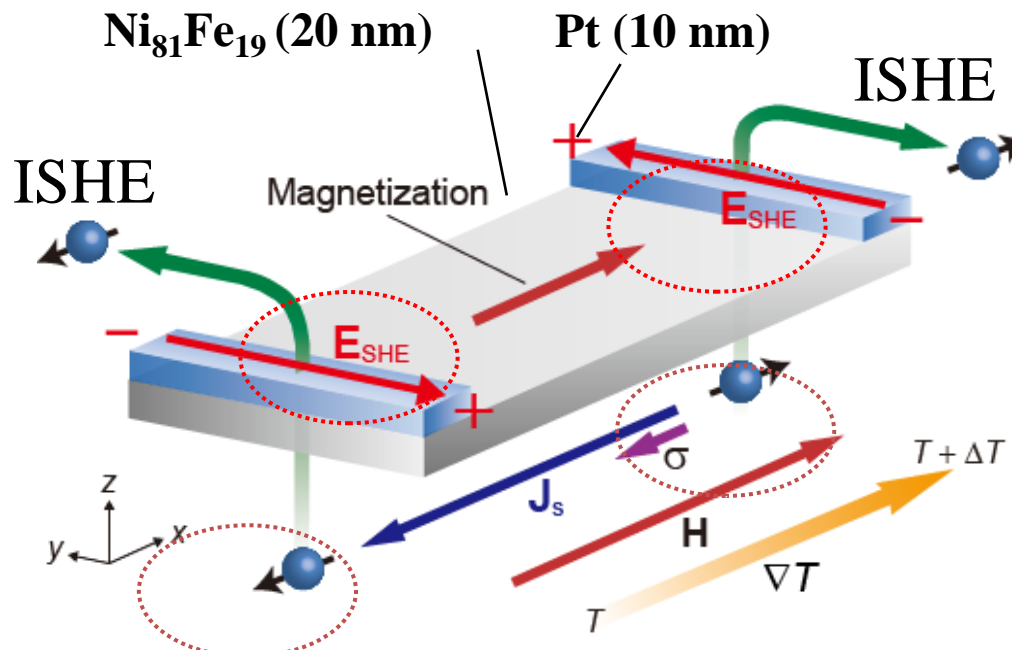
Gradiente de temperatura gera corrente de spin

nature

Vol 455 | 9 October 2008 | doi:10.1038/nature07321

Observation of the spin Seebeck effect

K. Uchida¹, S. Takahashi^{2,3}, K. Harii¹, J. Ieda^{2,3}, W. Koshibae⁴, K. Ando¹, S. Maekawa^{2,3} & E. Saitoh^{1,5}



In FM metálicos a corrente de spin é transportada pelos spin dos elétrons de condução

$$J_s = J_{\uparrow} - J_{\downarrow} = -(\sigma_{\uparrow} S_{\uparrow} - \sigma_{\downarrow} S_{\downarrow}) \nabla T$$

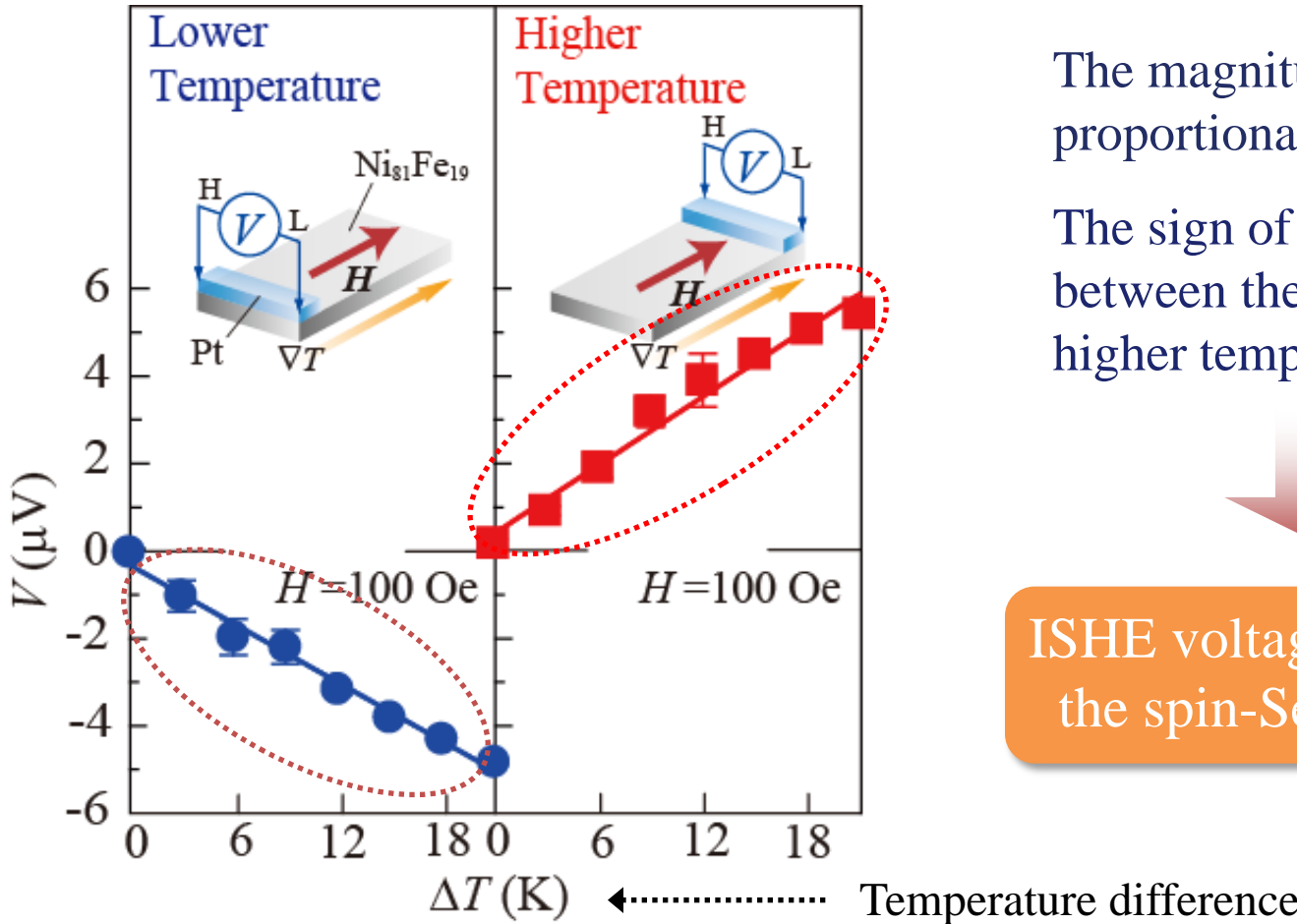
Corrente de calor



Corrente de spin

Efeito spin Seebeck - SSE

ΔT dependence of V



The magnitude of V is proportional to ∇T .

The sign of V is reversed between the lower and the higher temperature ends.

ISHE voltage induced by the spin-Seebeck effect

Efeito spin Seebeck também em FM isolantes

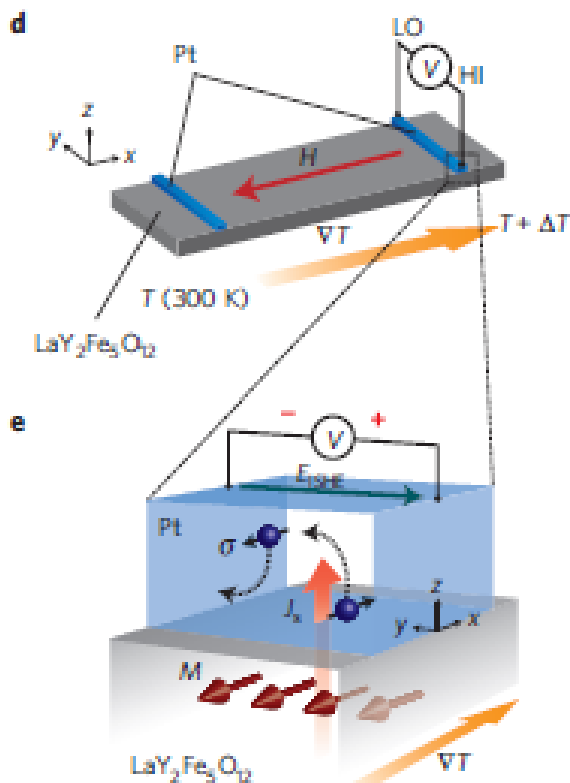
LETTERS

PUBLISHED ONLINE: 26 SEPTEMBER 2010 | DOI: 10.1038/NMAT2856

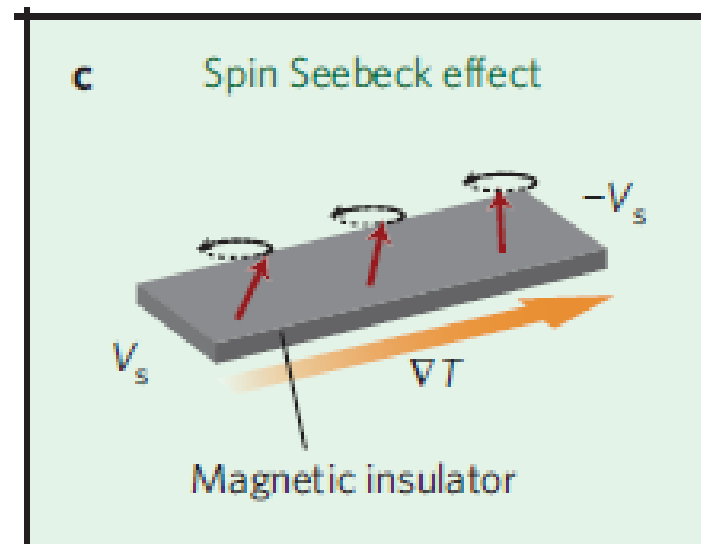
nature
materials

Spin Seebeck insulator

K. Uchida¹, J. Xiao^{2,3}, H. Adachi^{4,5}, J. Ohe^{4,5}, S. Takahashi^{1,5}, J. Ieda^{4,5}, T. Ota¹, Y. Kajiwara¹, H. Umezawa⁶, H. Kawai⁶, G. E. W. Bauer³, S. Maekawa^{4,5} and E. Saitoh^{1,4,7*}



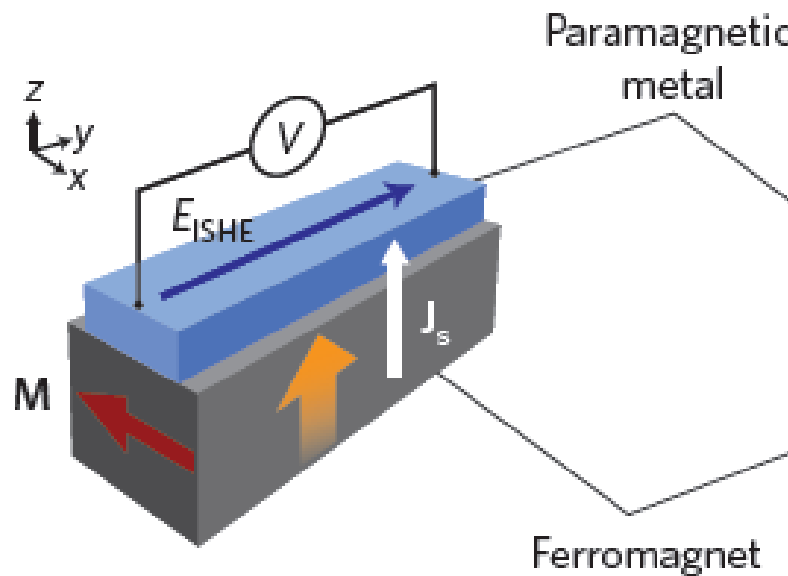
Em FM isolantes a corrente de spin é transportada por ondas de spin (magnons)



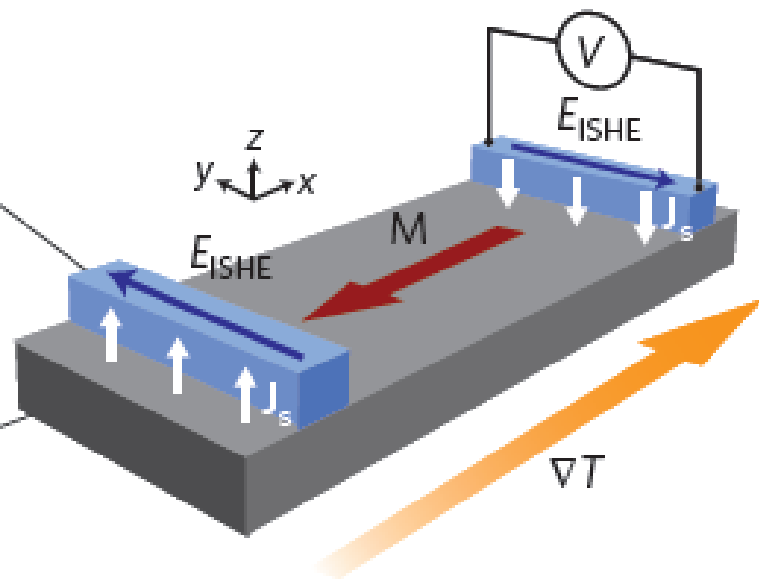
Spin caloritronics

Gerrit E. W. Bauer^{1,2*}, Eiji Saitoh^{1,3} and Bart J. van Wees⁴

d Longitudinal configuration

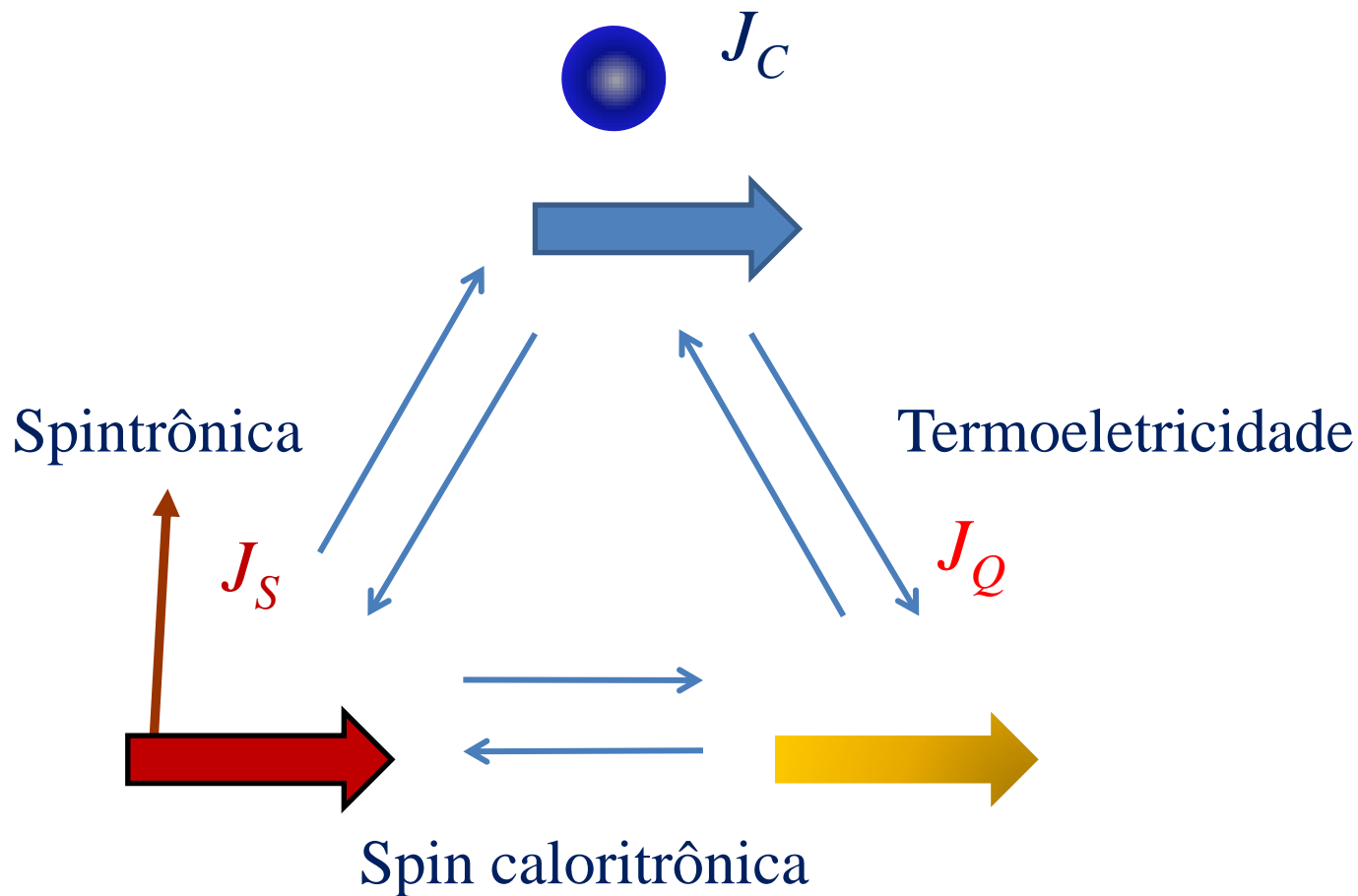


e Transverse configuration



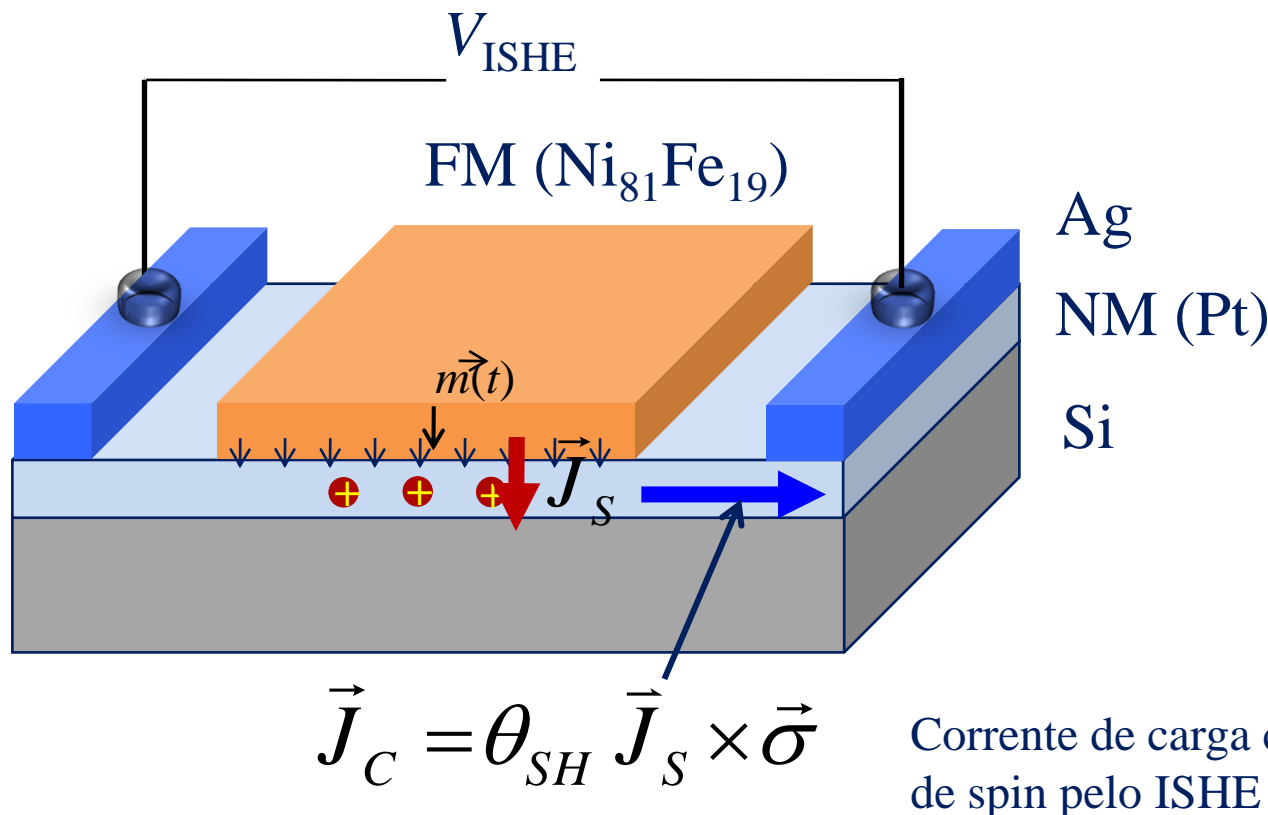
Conversão entre correntes

Inter-conversão entre correntes de carga, spin e calor, amplia muito as possibilidades para processamento de sinais por spintrônica



Alguns experimentos realizados no Recife!

Detecção elétrica de FMR (Spin pumping + ISHE)



Corrente de carga criada por corrente de spin pelo ISHE

PHYSICAL REVIEW B 83, 144402 (2011)

Spin pumping and anisotropic magnetoresistance voltages in magnetic bilayers: Theory and experiment

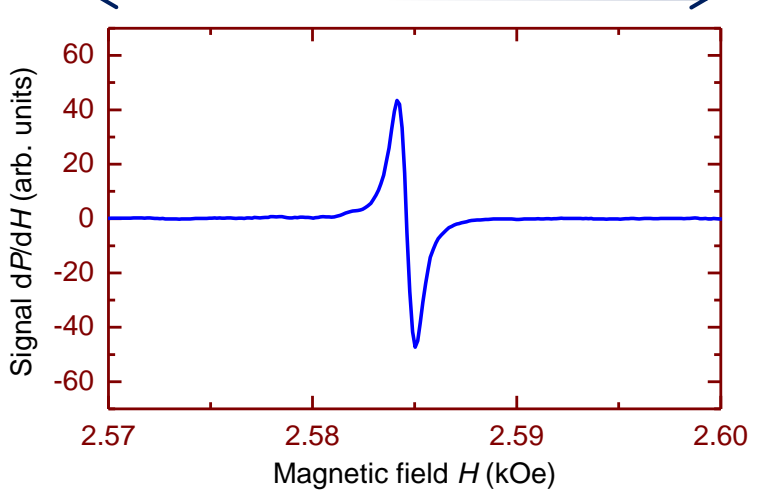
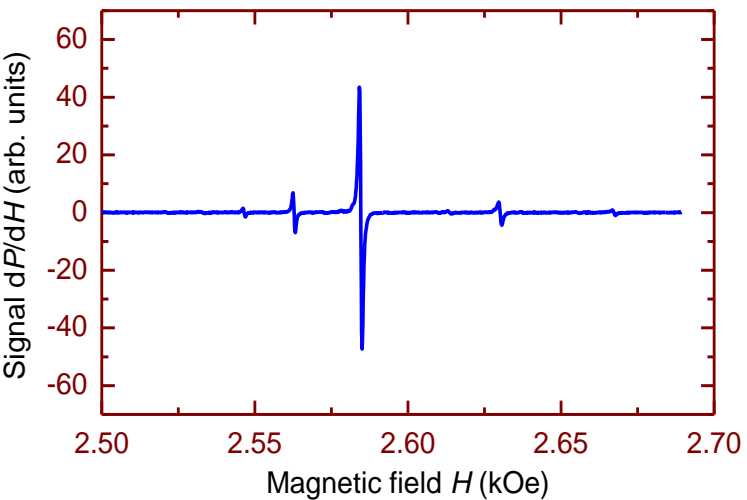
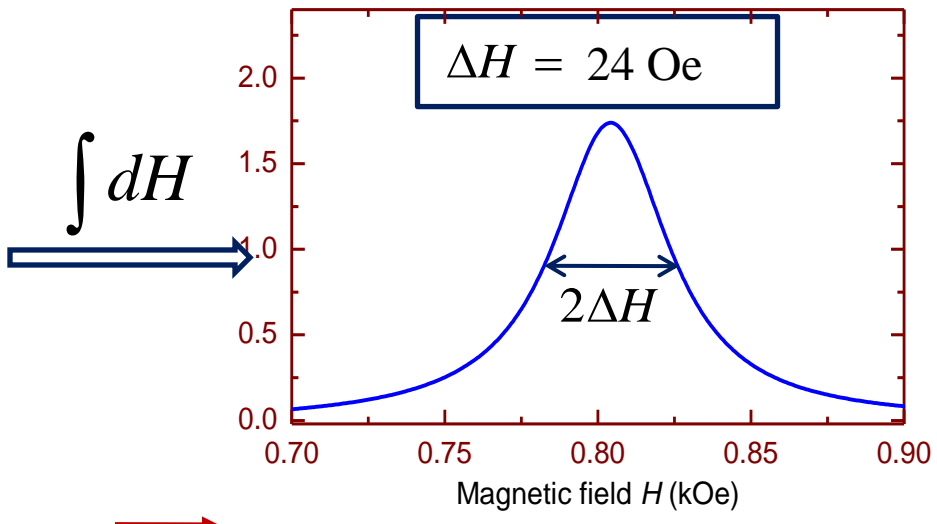
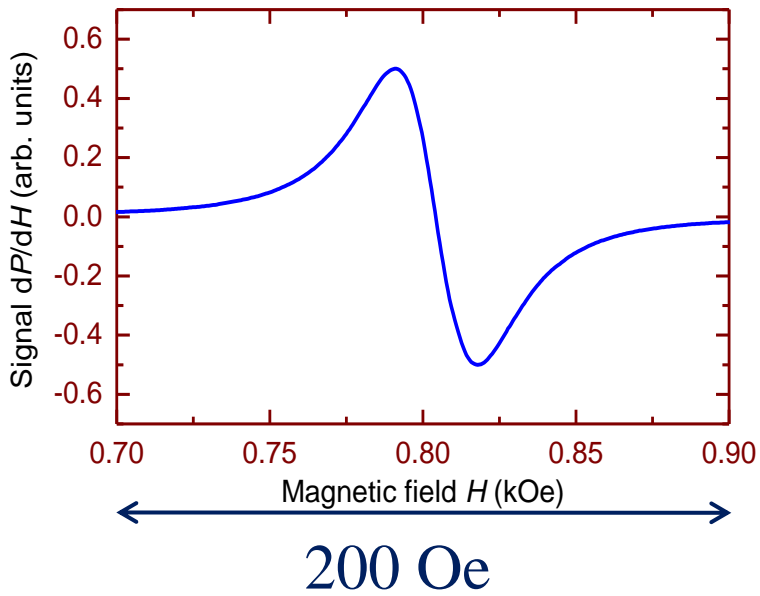
A. Azevedo,^{1,*} L. H. Vilela-Leão,¹ R. L. Rodríguez-Suárez,² A. F. Lacerda Santos,¹ and S. M. Rezende¹

¹Departamento de Física, Universidade Federal de Pernambuco, Recife, Pernambuco 50670-901, Brazil

²Facultad de Física, Pontificia Universidad Católica de Chile, Casilla 306, Santiago, Chile

Relaxação em ressonância ferromagnética

Permalloy film (60 nm)



Yttrium Iron Garnet (28 μm)-YIG ($\text{Y}_3\text{Fe}_5\text{O}_{12}$)

$\Delta H = 0.8 \text{ Oe}$

Alargamento das linhas de FMR em YIG/Pt

APPLIED PHYSICS LETTERS 102, 012402 (2013)



Enhanced spin pumping damping in yttrium iron garnet/Pt bilayers

S. M. Rezende,^{1,a)} R. L. Rodríguez-Suárez,² M. M. Soares,¹ L. H. Vilela-Leão,¹ D. Ley Domínguez,^{1,3} and A. Azevedo¹

¹*Departamento de Física, Universidade Federal de Pernambuco, 50670-901 Recife, PE, Brazil*

²*Facultad de Física, Pontificia Universidad Católica de Chile, Casilla 306, Santiago, Chile*

³*Centro de Investigación en Materiales Avanzados, S.C., Miguel de Cervantes 120, Complejo Industrial Chihuahua, Chihuahua 31109, Mexico*

(Received 5 November 2012; accepted 17 December 2012; published online 4 January 2013)

PHYSICAL REVIEW B 88, 014404 (2013)

Magnetic relaxation due to spin pumping in thick ferromagnetic films in contact with normal metals

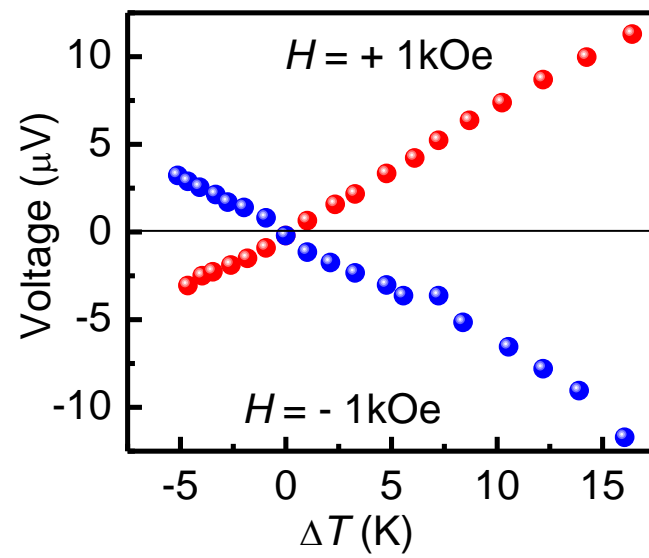
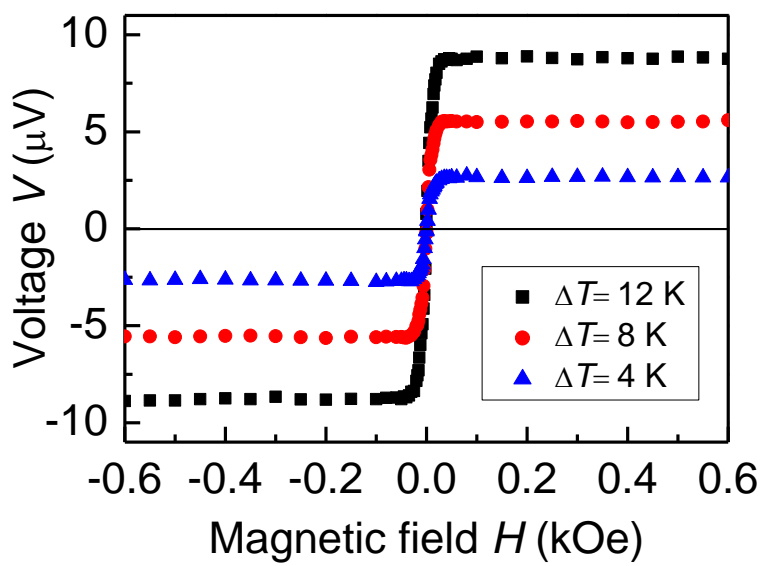
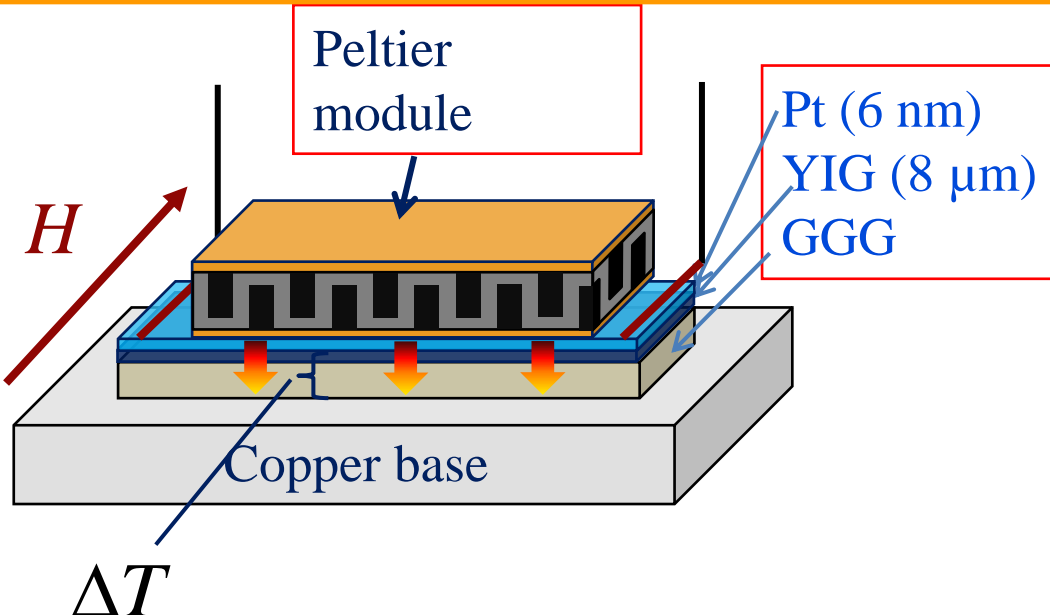
S. M. Rezende,^{1,*} R. L. Rodríguez-Suárez,² and A. Azevedo¹

¹*Departamento de Física, Universidade Federal de Pernambuco, 50670-901, Recife, Pernambuco, Brasil*

²*Facultad de Física, Pontificia Universidad Católica de Chile, Casilla 306, Santiago, Chile*

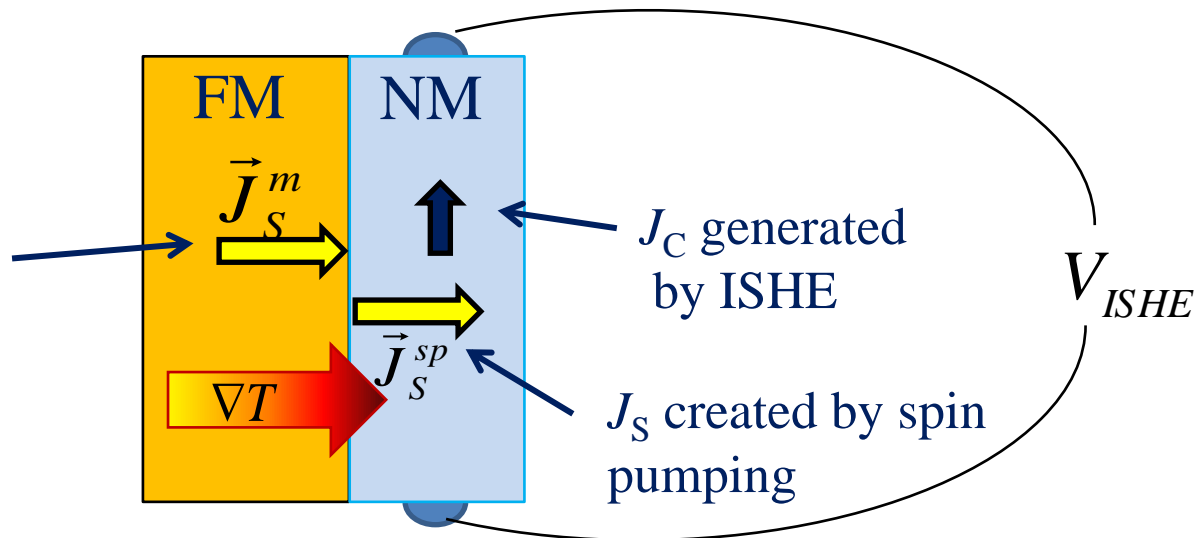
(Received 4 January 2013; revised manuscript received 22 May 2013; published 8 July 2013)

Longitudinal spin Seebeck effect in YIG/Pt

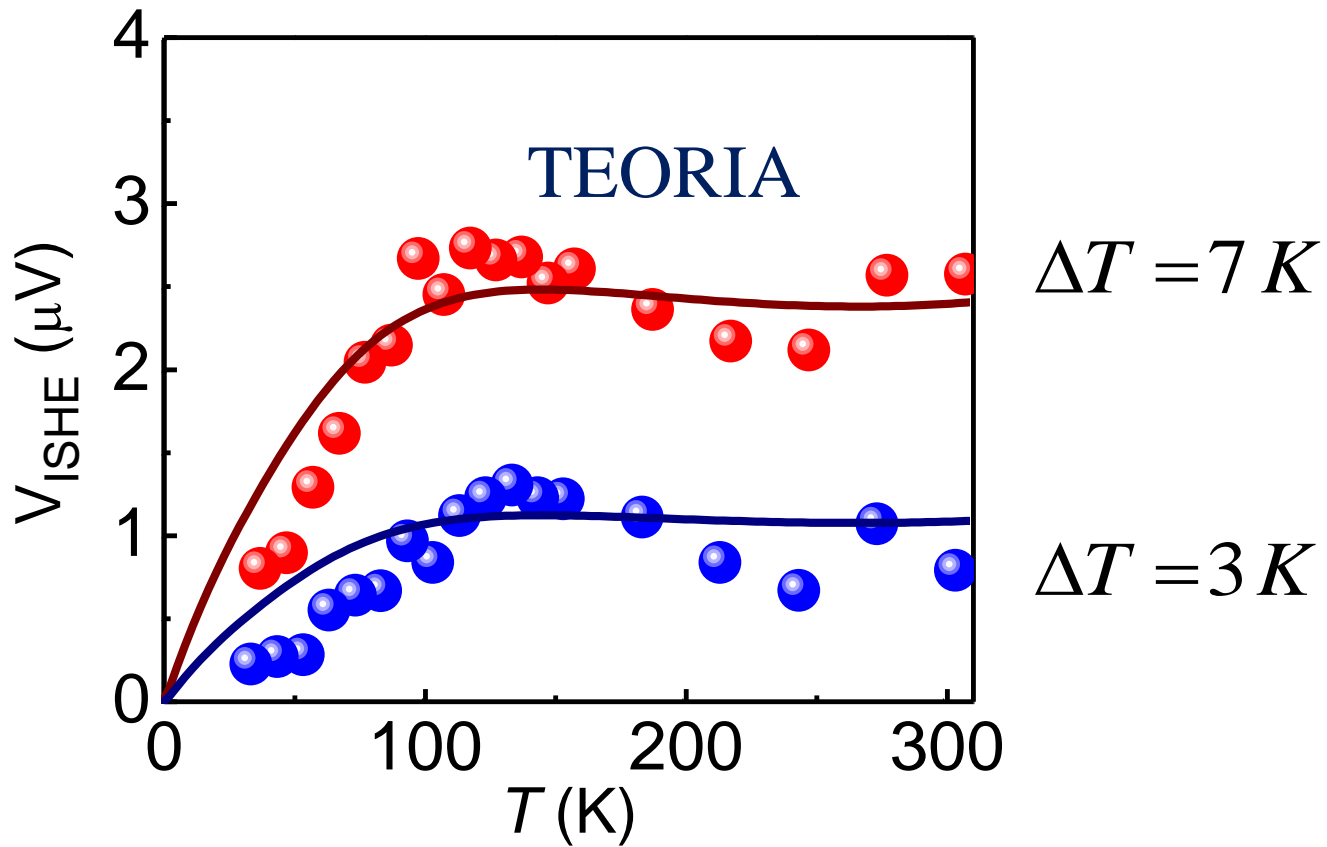


Modelo para o SSE longitudinal

J_S in FM created
by T gradient



Medidas de LSSE em função de T



Magnon Spin Current as the Source of the Longitudinal Spin Seebeck Effect

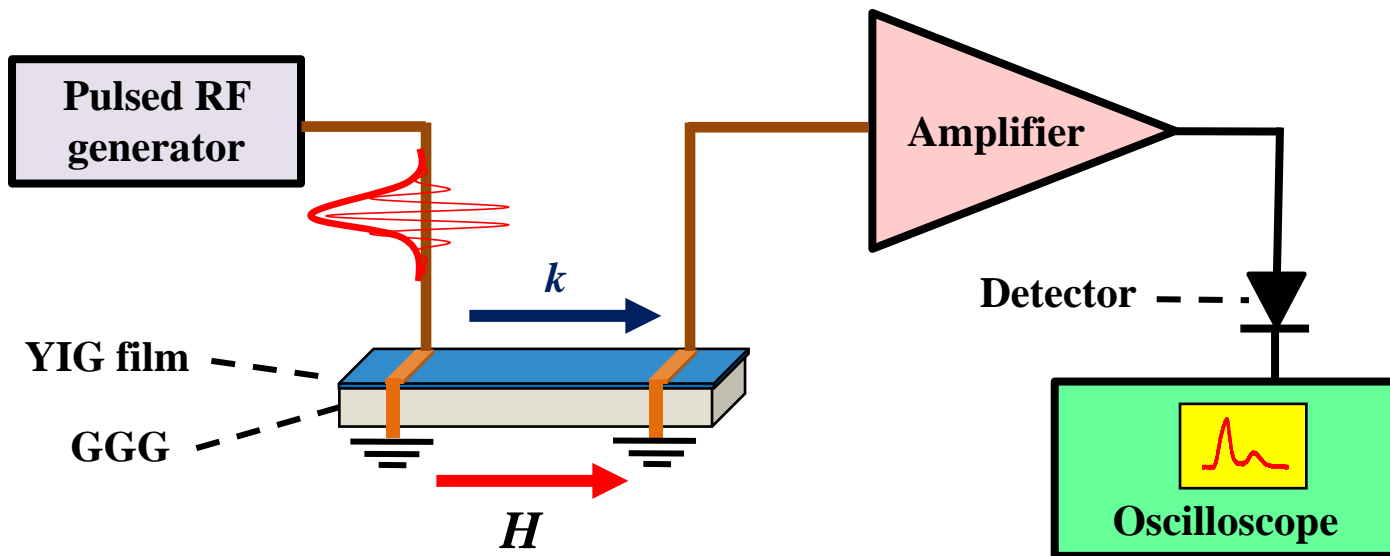
S.M. Rezende¹, R. Rodríguez-Suárez², R.O. Cunha¹, A.R. Rodrigues¹, F.L.A. Machado¹, G. A. Fonseca Guerra¹, J. López Ortiz¹, and A. Azevedo¹

¹Departamento de Física, Universidade Federal de Pernambuco, 50670-901, Recife, PE, Brasil.

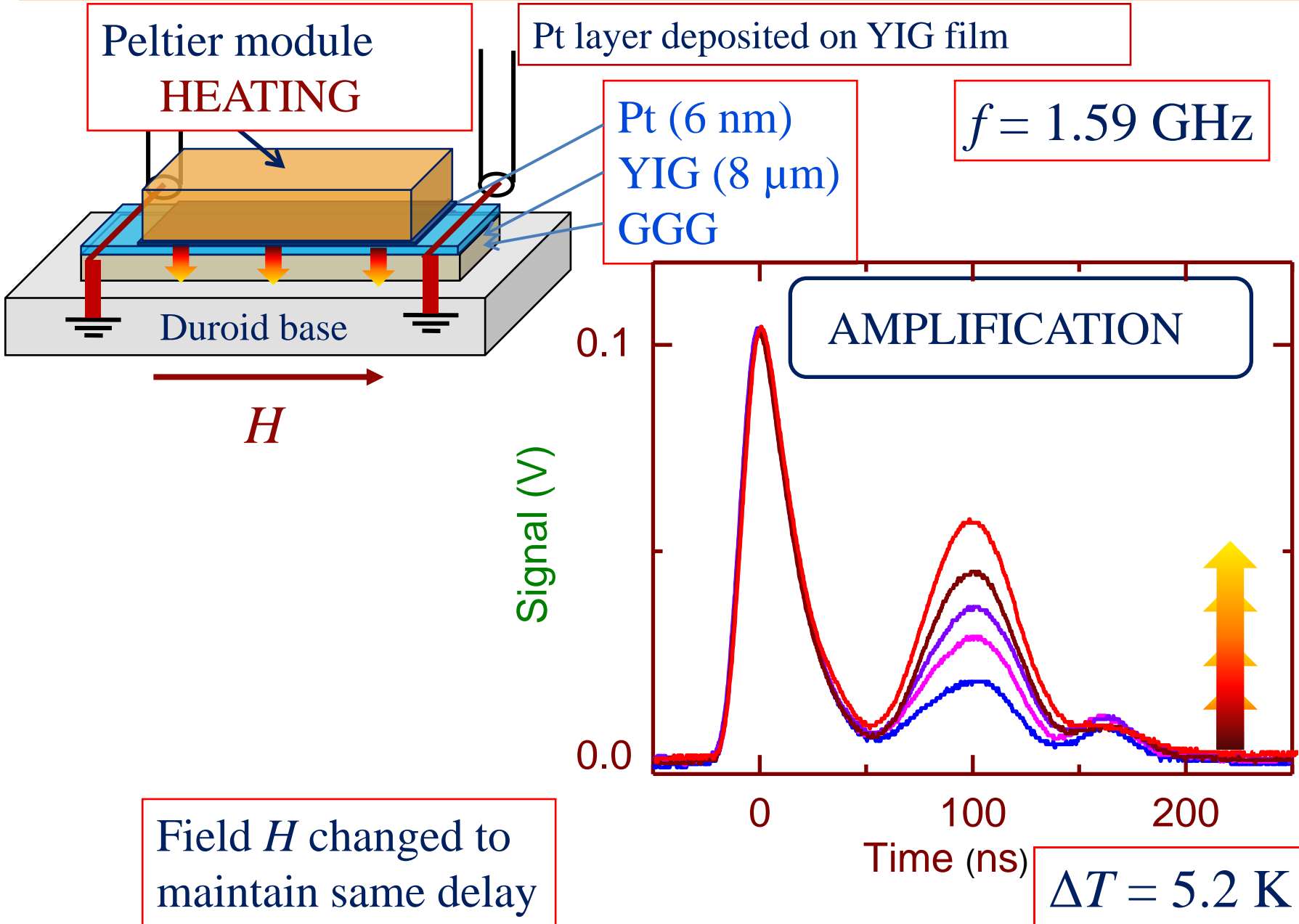
²Facultad de Física, Pontificia Universidad Católica de Chile, Casilla 306, Santiago, Chile.

Controle da relaxação de ondas de spin por SSE

Se a corrente de spin J_s gerada por spin pumping produz amortecimento, é possível controlar a relaxação pela J_s criada por efeito spin Seebeck?

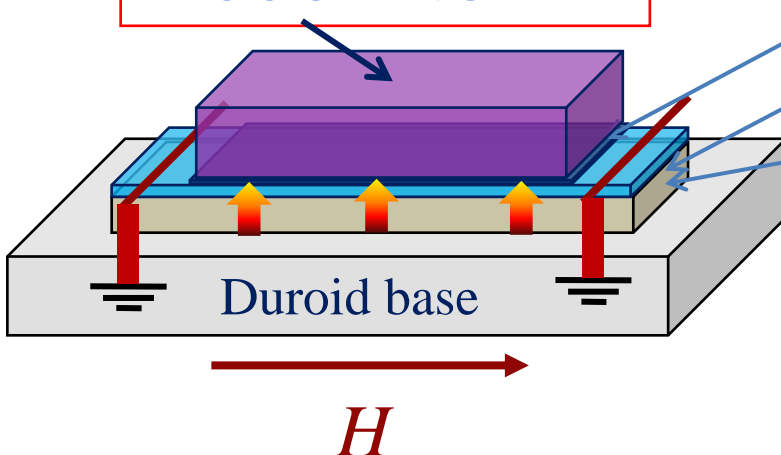


Controle da relaxação de ondas de spin por SSE



Controle da relaxação de ondas de spin por SSE

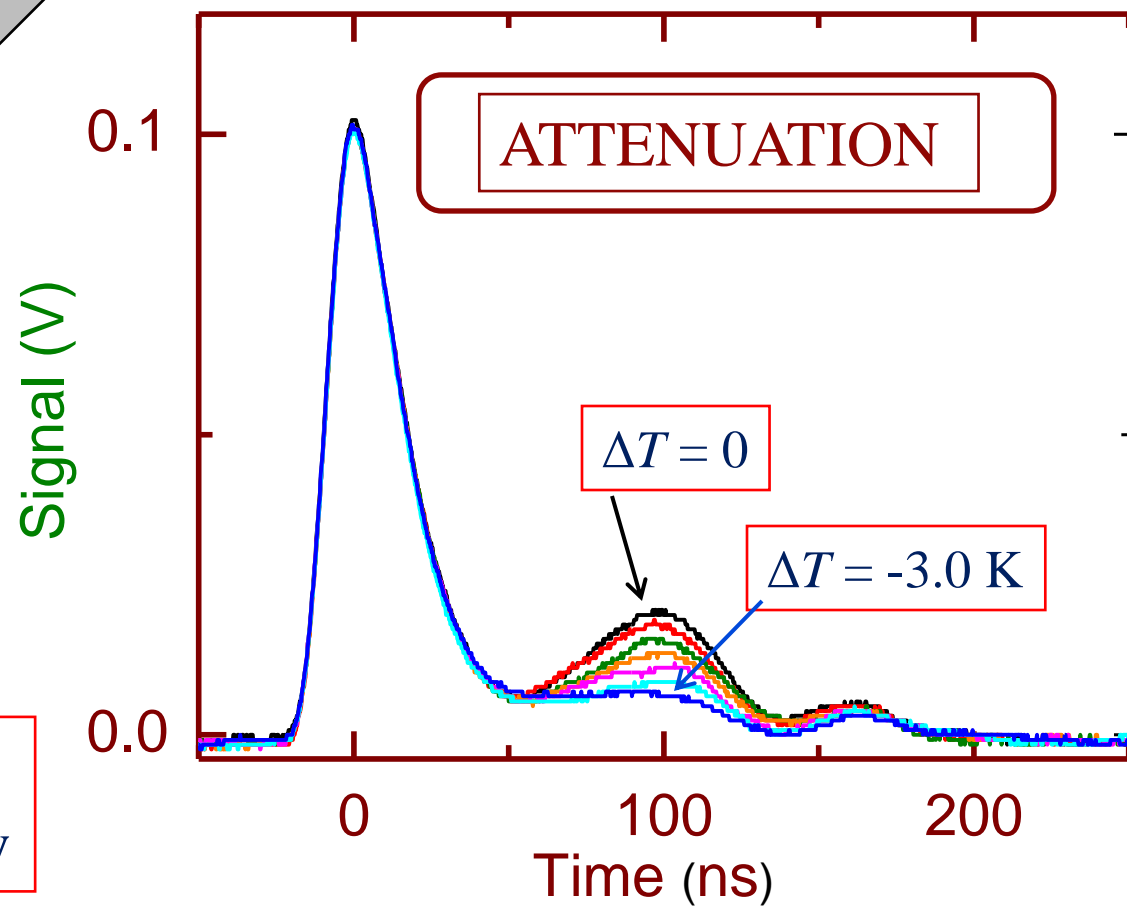
Peltier module
COOLING



Pt (6 nm)
YIG (8 μ m)
GGG

$f = 1.59$ GHz

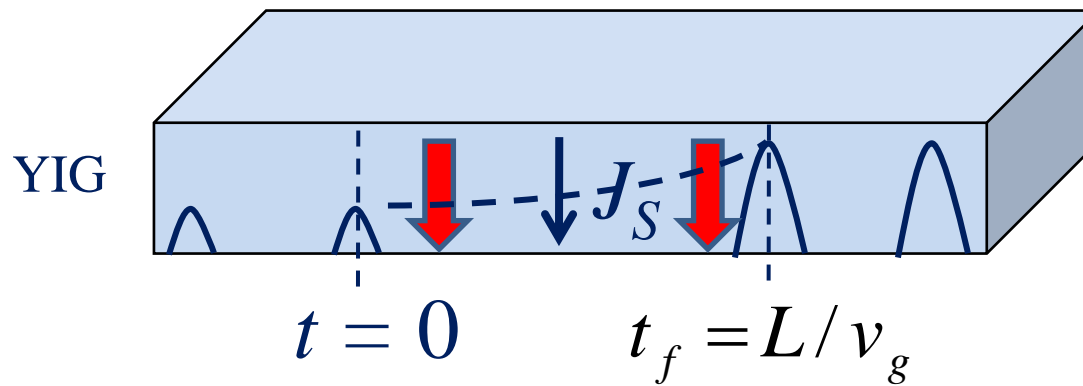
Field H changed to
maintain same delay



Model for SW amplification by thermal gradient

T difference creates spin current J_s

Spin current changes the
spin pumping damping



Spin-wave variable

relaxation rate

Damping due to T gradient

$$c_k(t) = c_k(0) e^{-i\omega t} e^{-(\eta_k - \beta' \nabla T)t_f}$$

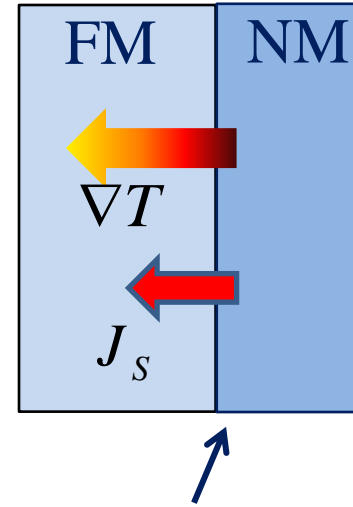
Model for relaxation due to thermal gradient

Magnon spin current due to magnon flow
in thermal gradient

$$\vec{J}_S = \frac{1}{V} \sum_k [f(\vec{r}, \vec{k}) - f_0(\vec{r})] \vec{v}_k$$

Magnon accumulation

$$\delta n_m = \frac{1}{V} \sum_k [f(\vec{r}, \vec{k}) - f_0(\vec{r})]$$



Continuity of
spin current

Model for relaxation due to thermal gradient

Total relaxation rate in YIG/Pt

$$\eta_t = \eta_0 + \eta_{sp} + \eta_{tg}$$

$$\eta_{sp} = \frac{\gamma \hbar \omega g_{eff}^{\uparrow\downarrow}}{4\pi M t_{FM}}$$

Spin pumping
Always positive

Control of relaxation by thermal gradients

PRL 107, 197203 (2011)

PHYSICAL REVIEW LETTERS

week ending
4 NOVEMBER 2011

Amplification of Spin Waves by Thermal Spin-Transfer Torque

E. Padrón-Hernández, A. Azevedo, and S. M. Rezende*

Departamento de Física, Universidade Federal de Pernambuco, Recife, PE 50670-901, Brazil

PHYSICAL REVIEW B 87, 184401 (2013)

Controlling the relaxation of propagating spin waves in yttrium iron garnet/Pt bilayers with thermal gradients

R. O. Cunha, E. Padrón-Hernández, A. Azevedo, and S. M. Rezende*

Departamento de Física, Universidade Federal de Pernambuco, Recife, PE, 50670-901, Brazil

(Received 5 February 2013; published 3 May 2013)

Spin pumping and T gradients in YIG/Pt structures

APPLIED PHYSICS LETTERS 102, 012401 (2013)

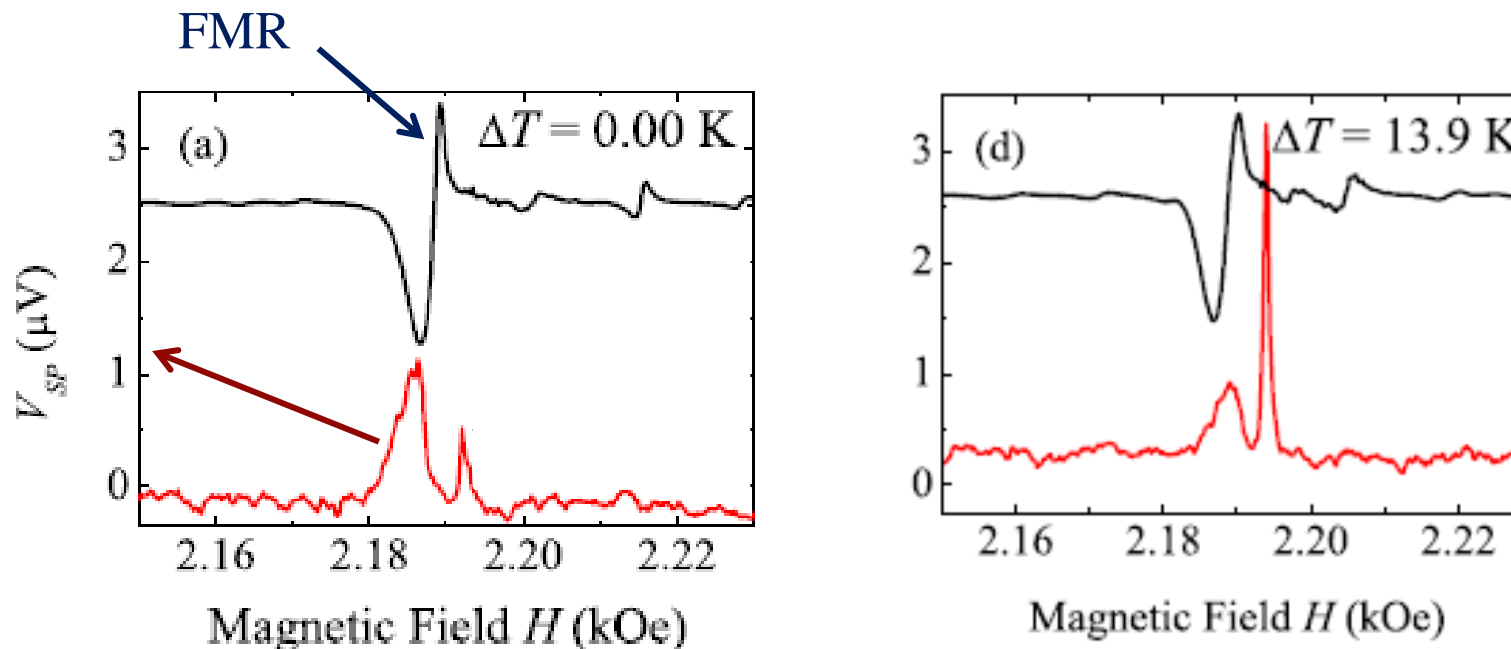


Enhancement of spin wave excitation by spin currents due to thermal gradient and spin pumping in yttrium iron garnet/Pt

G. L. da Silva, L. H. Vilela-Leão, S. M. Rezende, and A. Azevedo^{a)}

Departamento de Física, Universidade Federal de Pernambuco, 50670-901 Recife, PE, Brazil

(Received 18 October 2012; accepted 11 December 2012; published online 3 January 2013)

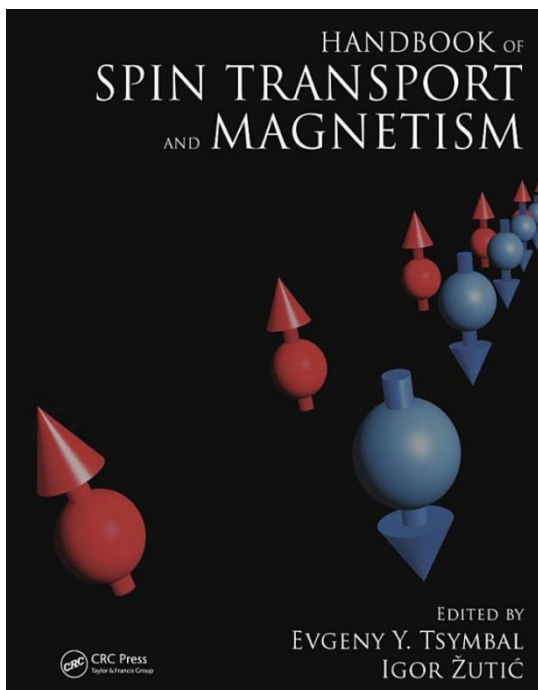


Selective amplification of modes by thermal gradients

- 1) dc effect in ferromagnetic resonance: **Evidence of the spin-pumping effect?**. *Journal of Applied Physics*, American Institute of Physics, v. 97, n. 10, p. 10C715, (2005).
- 2) Amplification of spin waves in yttrium iron garnet films through the **spin Hall effect**. *Applied Physics Letters*, v. 99, p. 192511, (2011).
- 3) Amplification of spin waves **by thermal spin-transfer torque**. *Physical Review Letters*, v. 107, p. 197203, (2011).
- 4) Unidirectional anisotropy in the **spin pumping voltage in yttrium iron garnet/platinum bilayers**. *Applied Physics Letters*, v. 99, p. 102505, (2011).
- 5) **Spin pumping and anisotropic magnetoresistance** voltages in magnetic bilayers: Theory and experiment. *Physical Review. B*, **83**, 144402, (2011).
- 6) **Direct current voltage** generated in metallic layers by **spin pumping**. *Journal of Applied Physics*, v. 109, p. 1/07C910-3, (2011).
- 7) **Amplification of spin waves by the spin Seebeck effect**. *Journal of Applied Physics*, v. 111, p. 07D504, (2012).
- 8) **Spin current injection by spin Seebeck and spin pumping effects** in yttrium iron garnet/Pt structures. *Journal of Applied Physics*, v. 111, p. 07C513, (2012).
- 9) Enhancement of spin wave excitation by **spin currents due to thermal gradient and spin pumping** in yttrium iron garnet/Pt. *Appl. Phys. Lett.* 102, 012401 (2013).
- 10) **Enhanced spin pumping** damping in yttrium iron garnet/Pt bilayers. *Appl. Phys. Lett.* 102, 012402 (2013).
- 11) Magnetic relaxation due to **spin pumping** in thick ferromagnetic films in contact with normal metals, *Phys. Rev. B*, 88, 014404 (2013).
- 12) Controlling the relaxation of propagating spin waves in yttrium iron garnet/Pt bilayers with **thermal gradients**, *Phys. Rev. B*, **87**, 184401 (2013).

Sumário

A área de SPINTRÔNICA está em rápida evolução oferecendo ótimas oportunidades de pesquisa básica e aplicada com uma variedade de fenômenos novos.



PART VI Applications

- 34 Magnetoresistive Sensors Based on Magnetic Tunneling Junctions
Gang Xiao
- 35 Magnetoresistive Random Access Memory.....
Johan Åkerman
- 36 Emerging Spintronics Memories
Stuart Parkin, Masamitsu Hayashi, Luc Thomas, Xin Jiang, Rai Moriya, and William Gallagher
- 37 GMR Spin-Valve Biosensors.....
Drew A. Hall, Richard S. Gaster, and Shan X. Wang
- 38 Semiconductor Spin-Lasers.....
Igor Žutić, Rafał Oszwałdowski, Jeongsu Lee, and Christian Göthgen
- 39 Spin Logic Devices
Hanan Dery

MUITO OBRIGADO PELA ATENÇÃO

Spin Current

Edited by

Sadamichi Maekawa,
Sergio O. Valenzuela,
Eiji Saitoh,
and Takashi Kimura



Part I

- 1: E. Saitoh: Introduction
- 2: E. Saitoh & K. Ando: Incoherent spin current
- 3: E. Saitoh & K. Ando: Exchange spin current
- 4: E. Saitoh: Topological spin current
- 5: K. Takanashi: Spin-polarization in magnets
- 6: A. Hirohata: Optically Induced and Detected Spin Current
- 7: S. E. Barnes: Theory of spin-motive-forces in ferromagnetic structures
- 8: A. Brataas: Spin Pumping and Spin Transfer
- 9: G. E. W. Bauer: Spin Caloritronics
- 10: N. Nagaosa: Multiferroics

Part II

- 11: S. O. Valenzuela: Introduction
- 12: S. Maekawa & S. Takahashi: Spin Hall Effect
- 13: J. Nitta: Spin generation and manipulation based on spin-orbit interaction in semiconductors
- 14: S. O. Valenzuela & T. Kimura: Experimental observation of the spin Hall effect using electronic nonlocal detection
- 15: E. Saitoh & K. Ando: Experimental observation of the spin Hall effect using spin dynamics
- 16: J. Wunderlich: Spin-injection Hall effect
- 17: S. Murakami: Quantum spin Hall effect and topological insulators
- 18: E. Saitoh & K. Uchida: Spin-Seebeck effect

Part III

- 19: T. Kimura: Introduction
- 20: Y. Suzuki: Spin torque in uniform magnetization
- 21: T. Kimura & Y. Otani: Magnetization switching due to nonlocal spin injection
- 22: Y. Otani: Magnetic domains and magnetic vortices
- 23: T. Ono: Spin transfer torque in non-uniform magnetic structure
- 24: S. Zhang: Spin torques due to large Rashba fields